

ANALIZA IONSKIH TRAGOVA

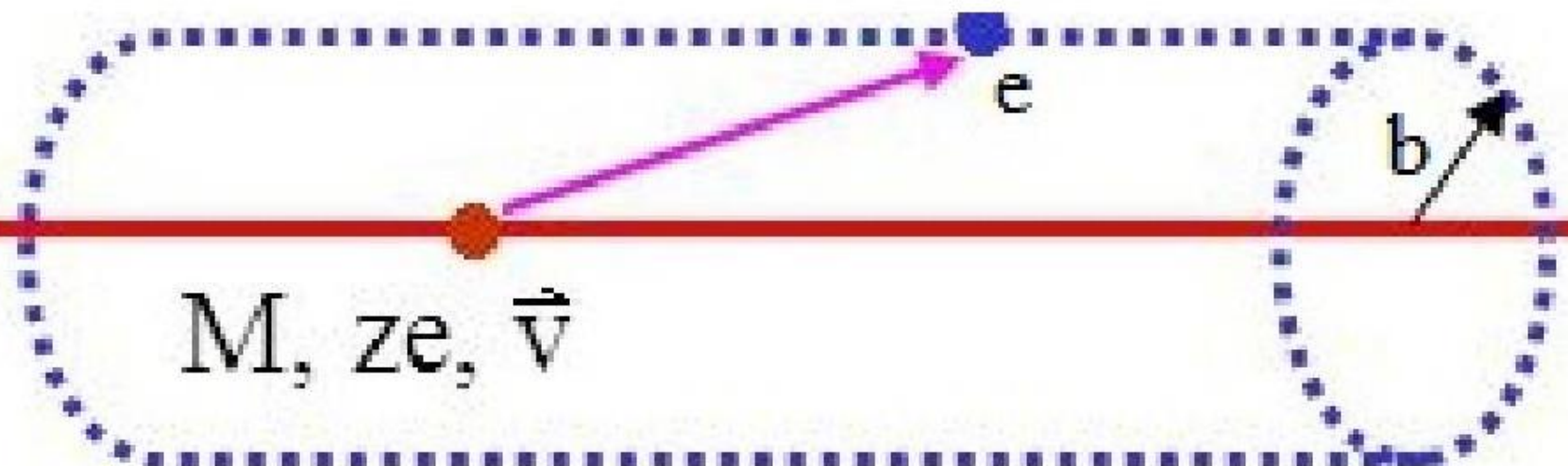
U SRTIO₃, TIO₂ I ODABRANIM
PIROKLORIMA

PROLAZAK NABIJENE ČESTICE

- teške, lake... (elektron)
- neelastična rasp. na elekt. i elast. na jezgrama (gubitak, odmak) -> ostalo zanemarujemo (teške 10-ak Mev-a)
- statističnost pojava (neto efekt) -> Ruth. (klas.) i ne Ruth. presjeci (kvantni, nukl. reak.)
- srednji gubitak -> zaustavna moć dE/dx (računamo)

INTERAKCIJA TEŠKE NABIJENE ČESTICE S ATOMSKIM ELEKTRONIMA

- elektron slobodan i početno miruje, a tokom interakcije s teškom nabijenom česticom vrlo malo pomakne pa interakciju možemo gledati na njegovom početnom položaju. Za projektil uzimamo da se ne odmiče od početnog smjera pošto je $M \gg m$



KLASIČNI (BOHROV) IZRAZ

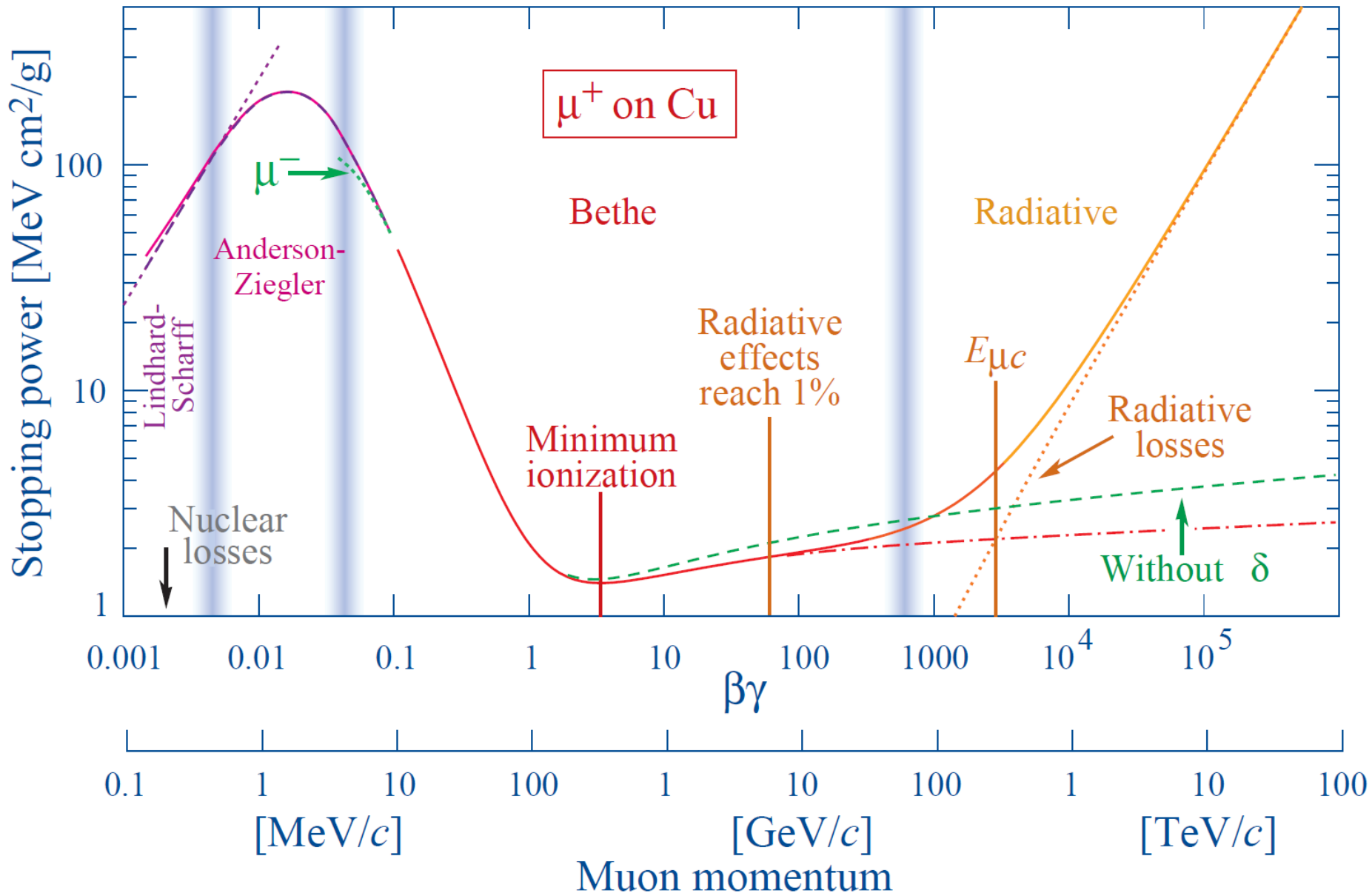
$$-\frac{dE}{dx} = \frac{4\pi z^2 e^4}{m_e v^2} N_e \ln \frac{\gamma^2 m v^3}{z e^2 \bar{v}}.$$

- integriranje u konačnim vrijednostima (min->čeonu sudar, max->adijabatska invarijanta)
- ova formula predstavlja dovoljno dobar prikaz gubitka energije za vrlo teške čestice kao što su α -čestice i teške jezgre no za lakše kao što su protoni nije dostatna zbog kvantnih efekata

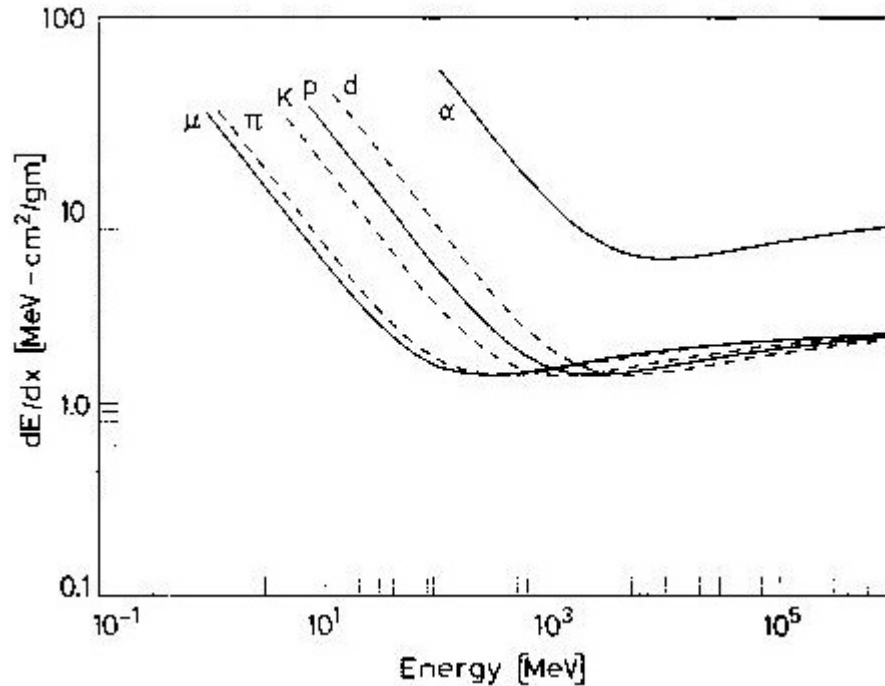
BETHE-BLOCH

$$-\frac{dE}{dx} = 2\pi N_a r_e^2 m_e c^2 \rho \frac{Z}{A} \frac{z^2}{\beta^2} \left[\ln \left(\frac{2m_e \gamma^2 v^2 W_{max}}{I^2} \right) - 2\beta^2 - \delta - 2\frac{C}{Z} \right]$$

- uključuje kvantne efekte
- parametrizacija izmjene energije preko izmjene impulsa (udarni parametar)
- density efekt -> polarizacija (energija, gustoća)
- shell -> više efekata (odnos brzina)
- ostalo zanemarujemo (iznimka uhvat elektrona kod teških iona na malim brzinama, sve ostalo ~1%)

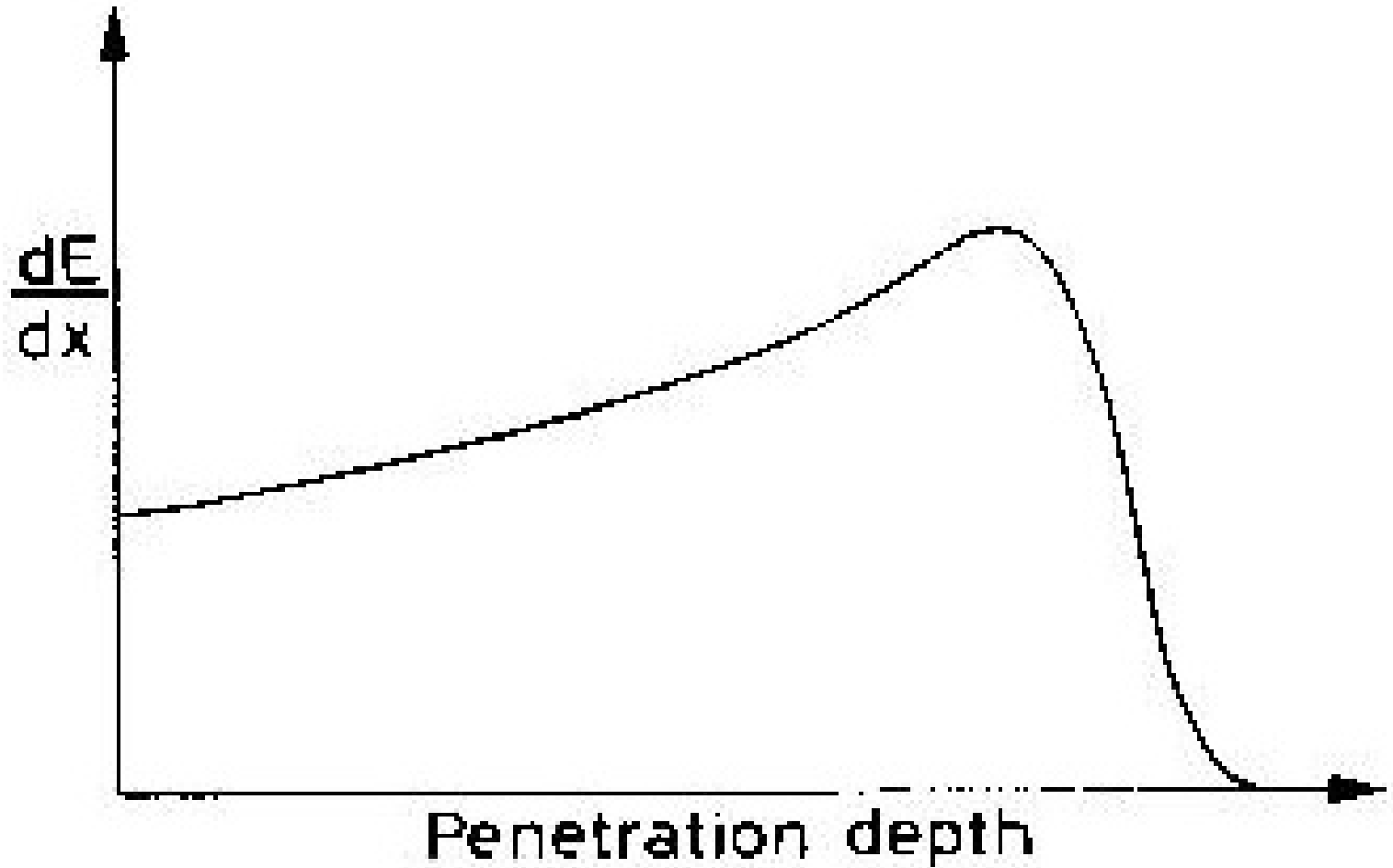


ENERGIJSKA OVISNOST



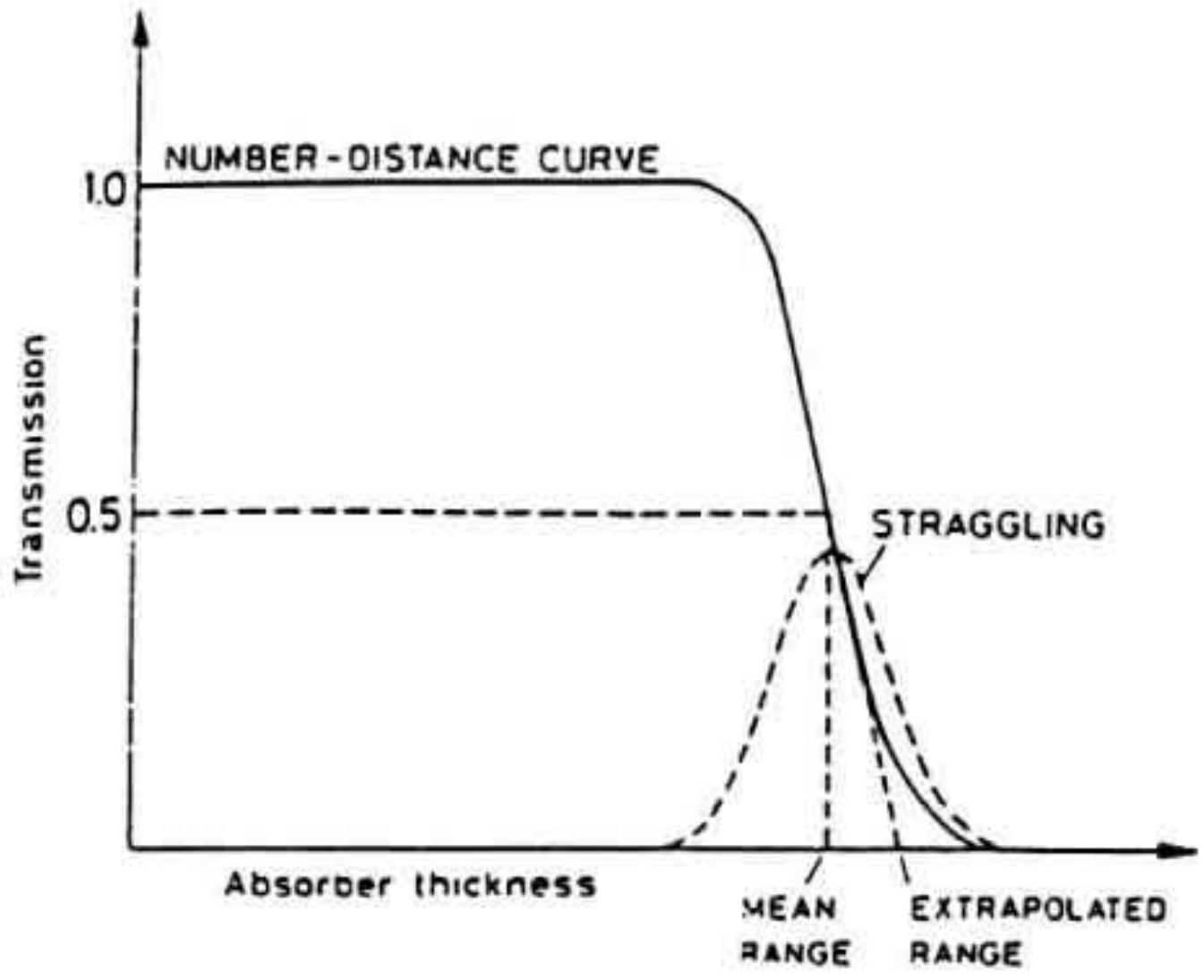
- $1/\beta^2$, minimum ionizacije $0.96c$ (naboj)
- logaritamski porast, density ograničenje

BRAGGOVA KRIVULJA

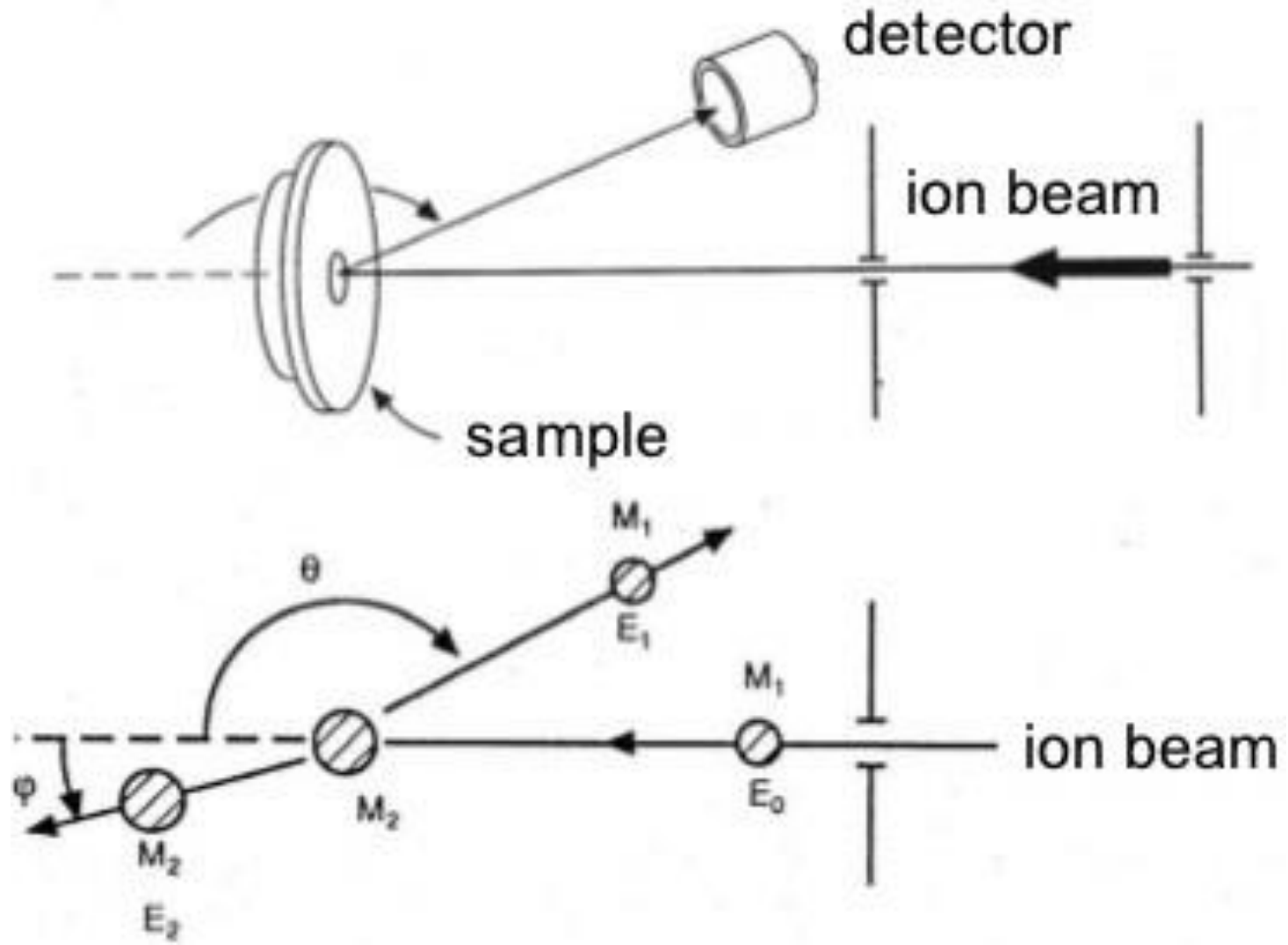


OGRANIČENJA

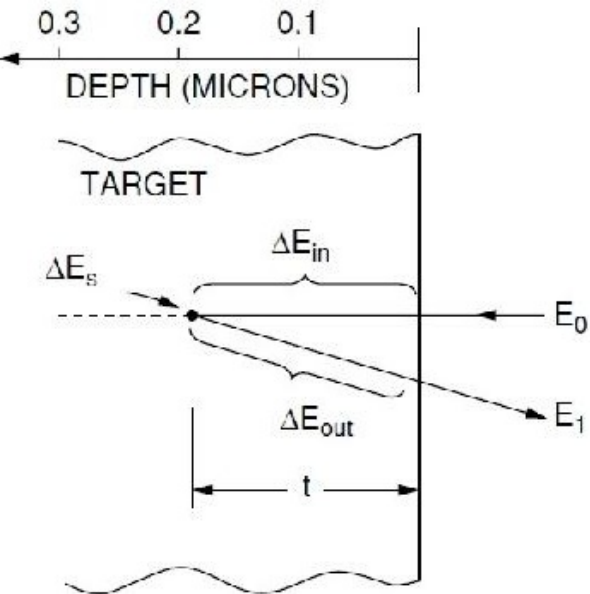
- dobro za “elementarne čestice”, α -čestice i lakše jezgre
- brzine do $\beta \approx 0.1$
- teže do $Z \approx 56$ -> efektivni naboj (radijacijski efekti)
- kanaliranje ($\approx 1^\circ$ za $\beta \approx 0.1$, obrnuto proporcionalno s energijom)



RBS



$$K = \frac{E_1}{E_0} = \left[\frac{(M_2^2 - M_1^2 \sin^2 \theta)^{1/2} + M_1 \cos \theta}{M_1 + M_2} \right]^2$$



- iz spektra unazad raspšenih iona koji nam govori o broju i energiji detektiranih iona možemo rekonstruirati elementarni sastav uzorka i dubinske profile u materijalu
- elementarni sastav saznajemo iz spektra jer sudari s različitim jezgrama razultiraju različitim gubitkom energije ulaznog iona određene kinematičkim faktorom dok se dubinski profil saznaje poznavajući zaustavnu moć iona u uzorku

$$\Delta E_{in} \simeq \left. \frac{dE}{dx} \right|_{E_0} \cdot t$$

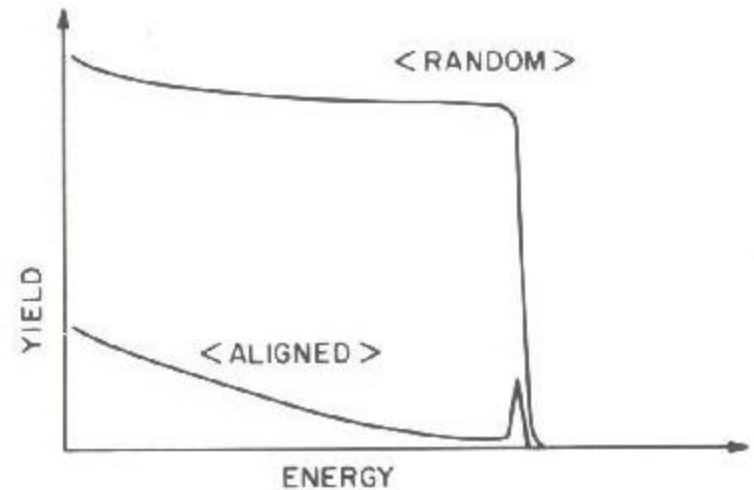
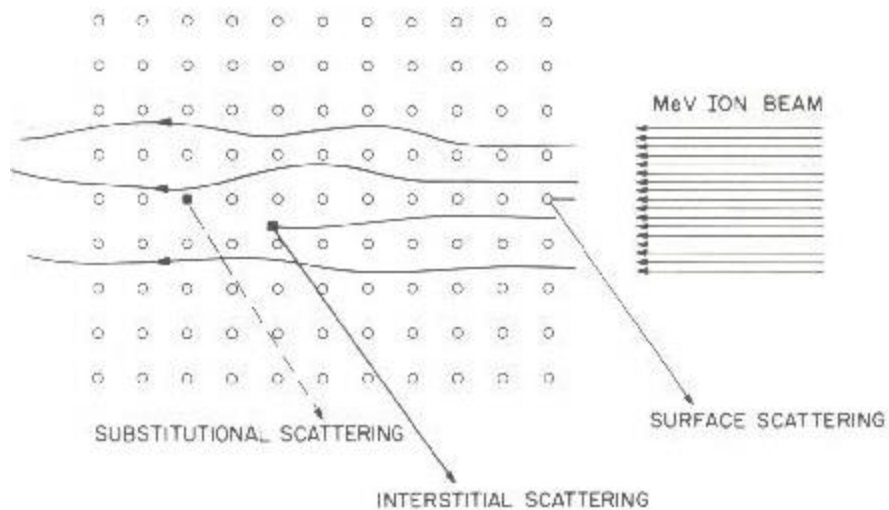
$$E_t = E_0 - \Delta E_{in}$$

$$\Delta E_s = (1 - K) E_t$$

$$\Delta E_{out} \simeq \left. \frac{dE}{dx} \right|_{E_1} \cdot \frac{t}{\cos \theta}$$

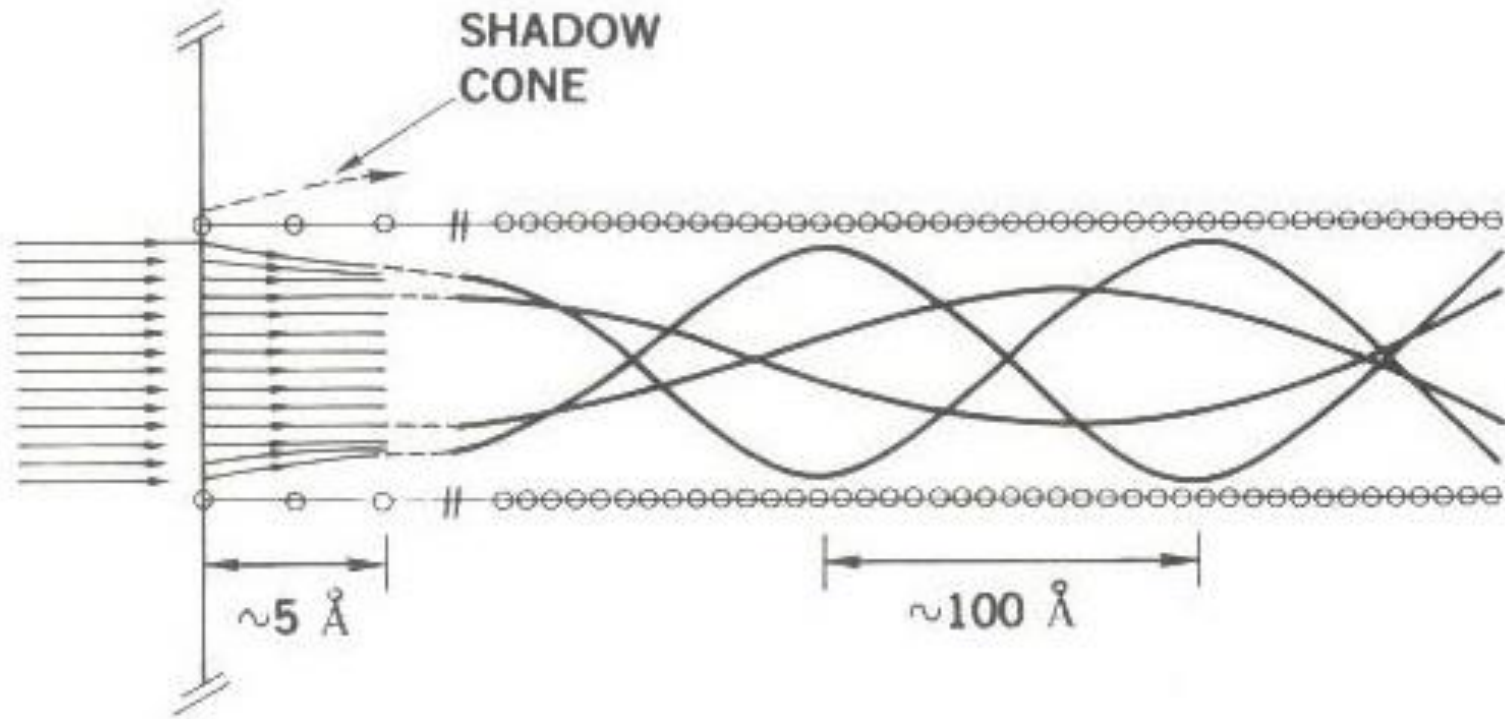
RBS/c

- poravnanje kristalne osi -> kanaliranje iona

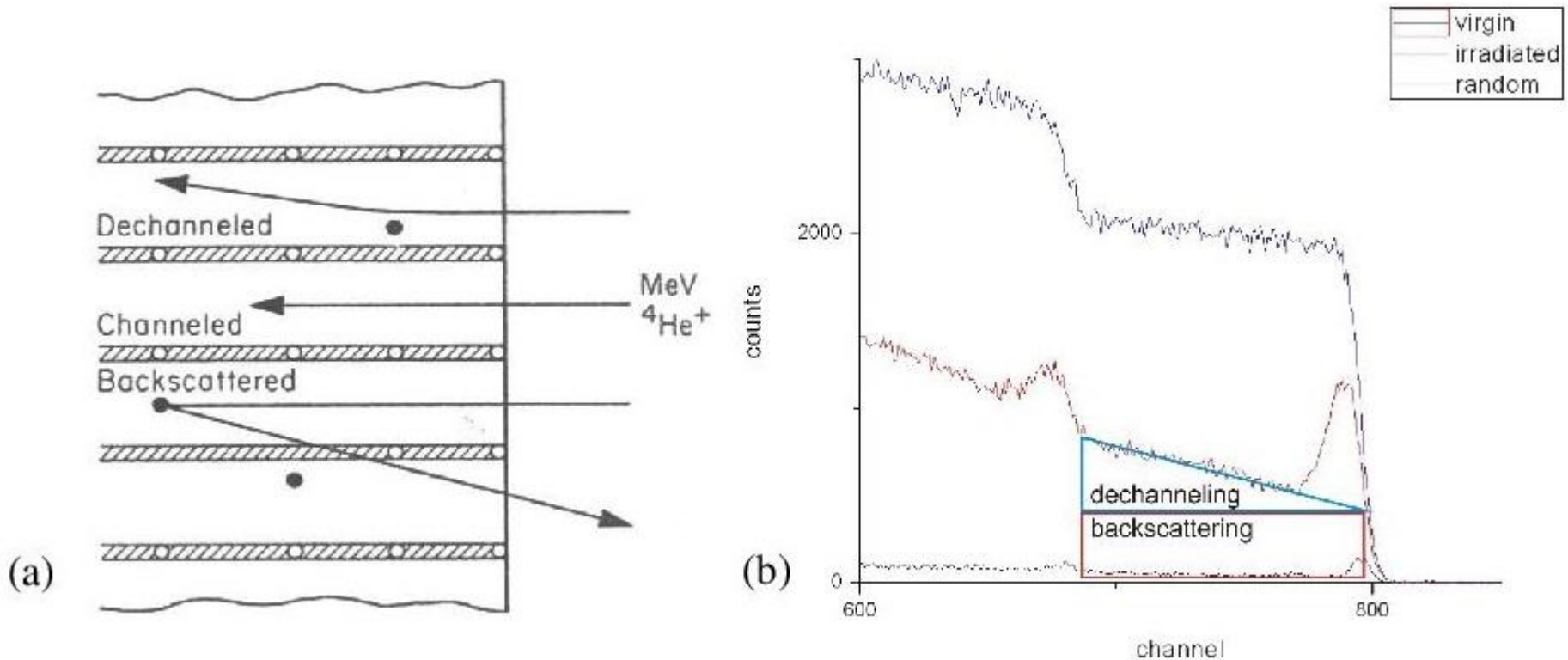


- monokristalinični vzorek

SMANJENJE BROJA DOGAĐAJA



DOPRINOSI RASPRŠENJU I UČINAK NA SPEKTAR



$$F_d = \frac{\chi_{\text{irrad}} - \chi_{\text{virgin}}}{\chi_{\text{random}} - \chi_{\text{virgin}}}$$

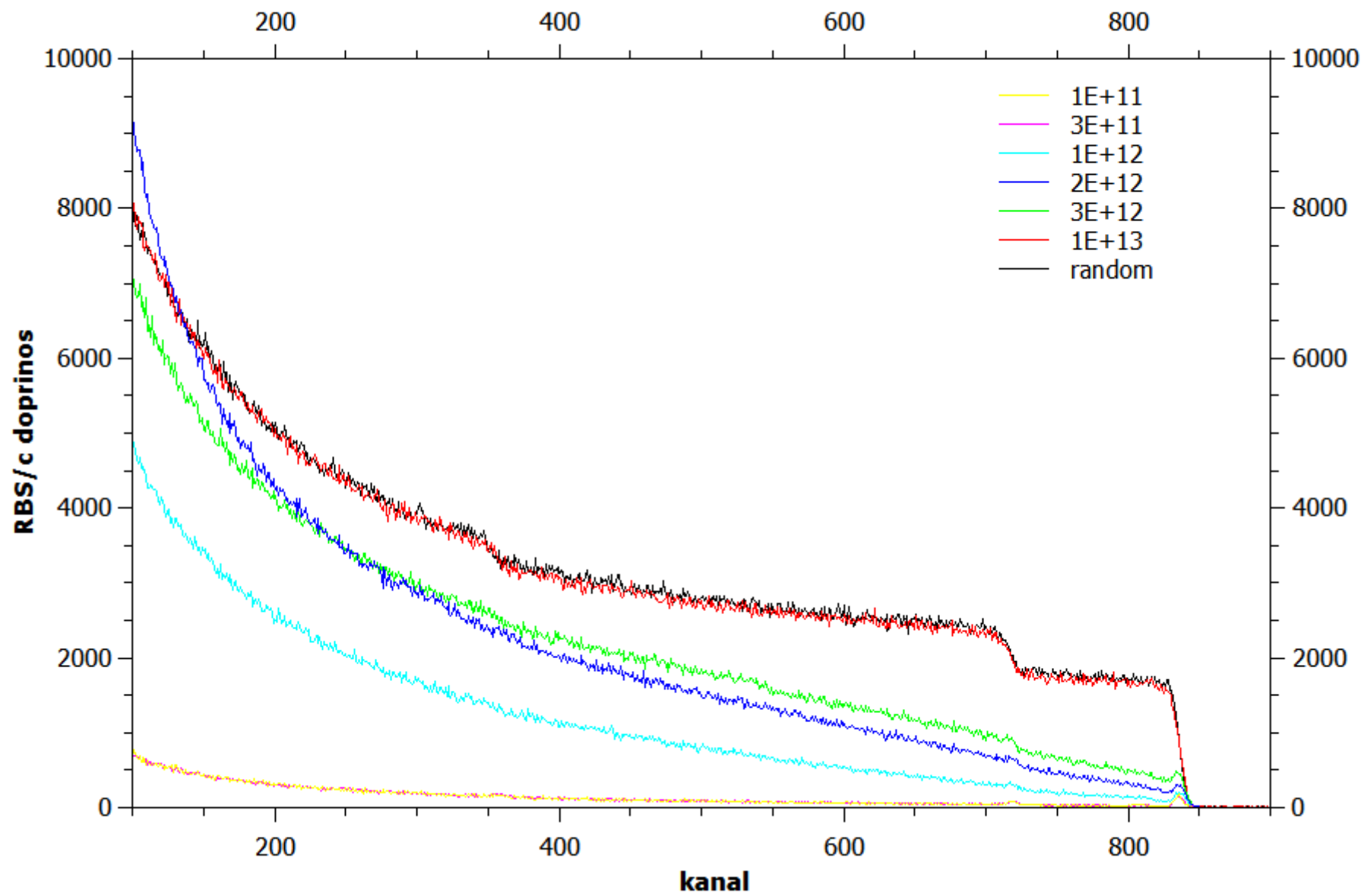
$$F_d = \alpha(1 - e^{-R^2 \pi \Phi})$$

EKSPERIMENTALNI POSTAV

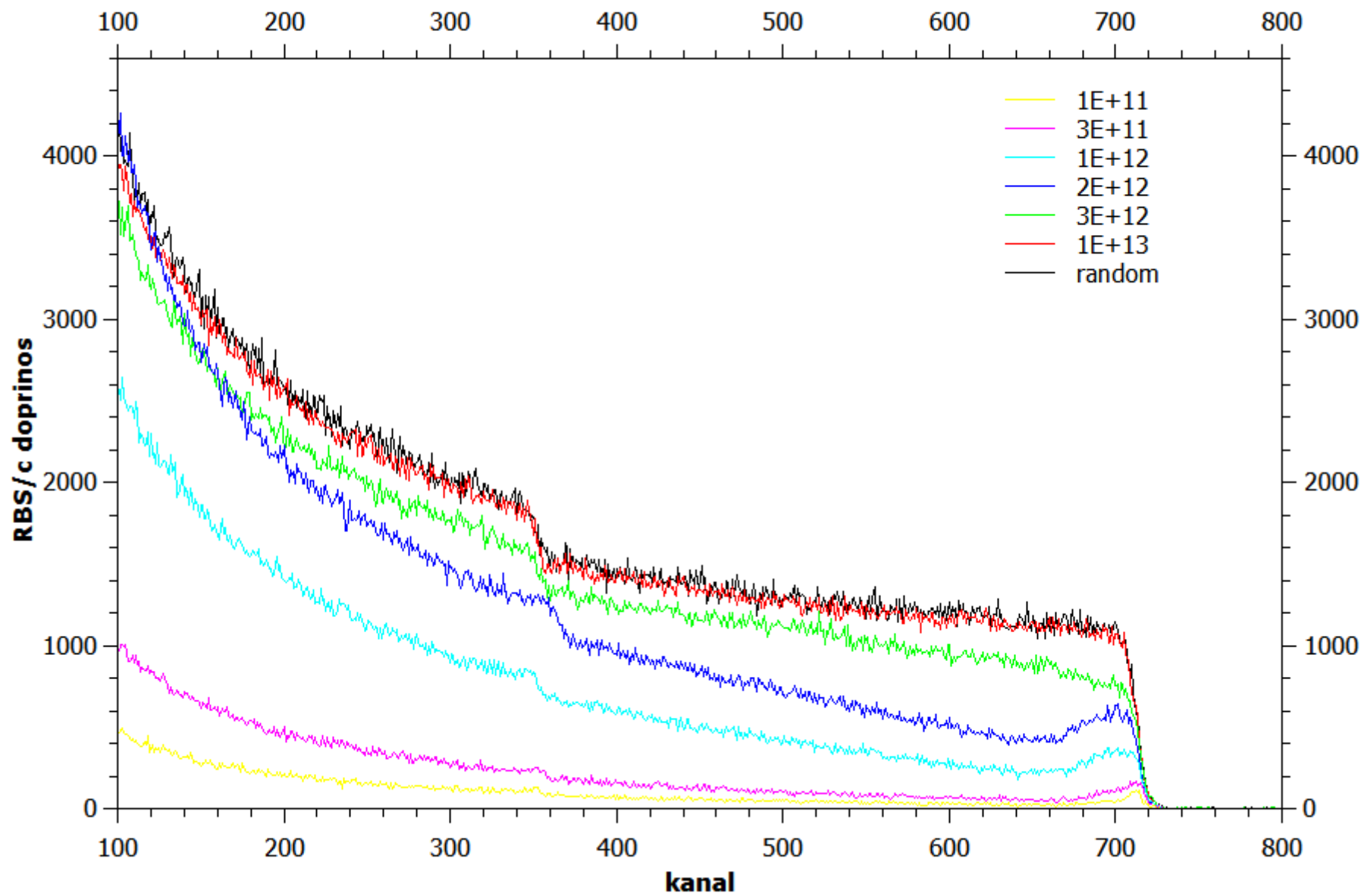
- SRTIO3 (100) i TIO2 (001) 5×5 mm²
- 92 MeV Xe²³⁺ pod 6° na kristalnu os
- Analiza s 1.7 MeV He i SSB detektorom pod 170°
- SRIM,RBX

Electronic stopping S_e (keV nm ⁻¹)	Nuclear stopping S_n (keV nm ⁻¹)	Range (μm)
20.91	0.18	7.73
21.06	0.16	7.92

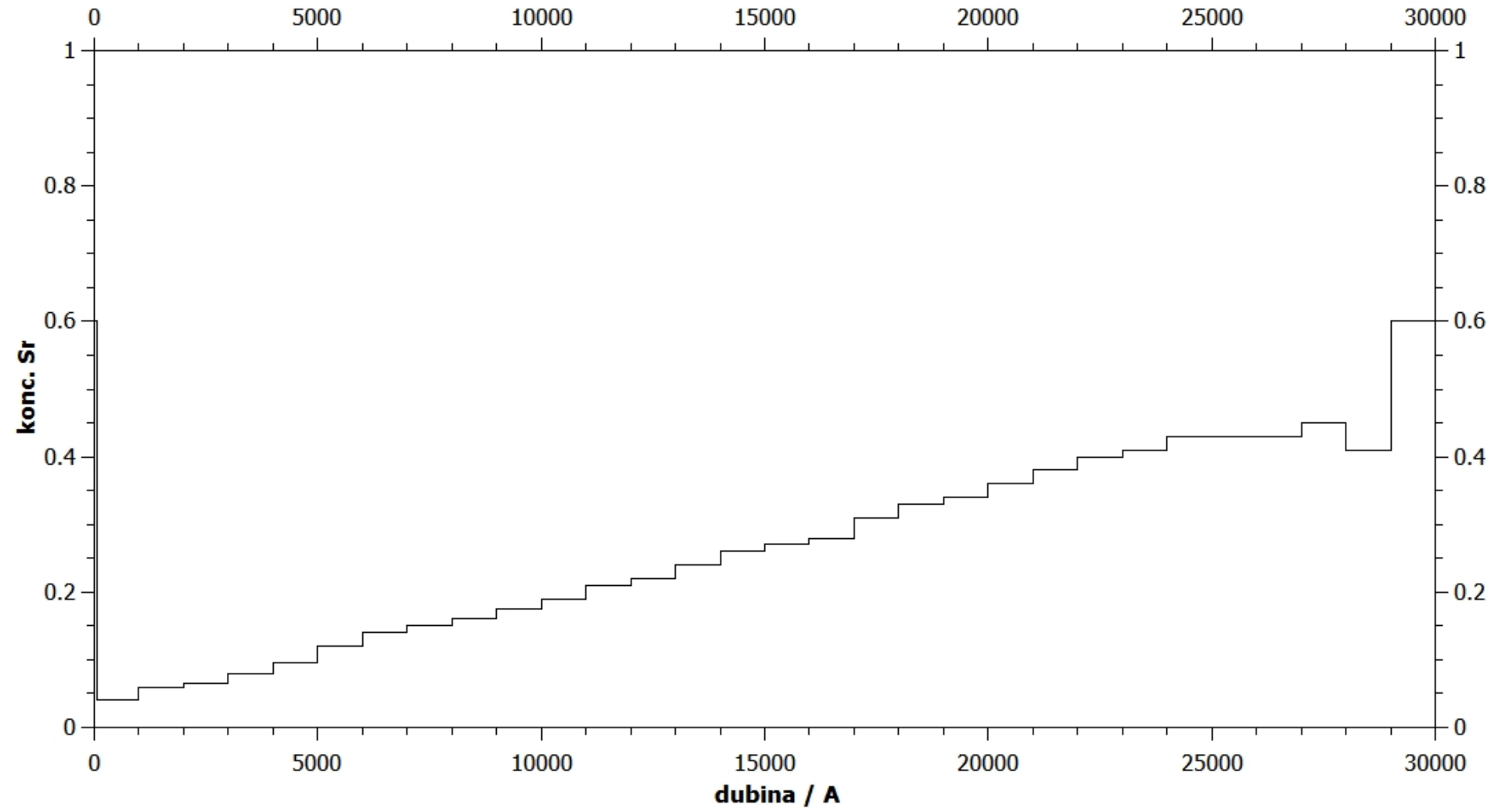
SrTiO3



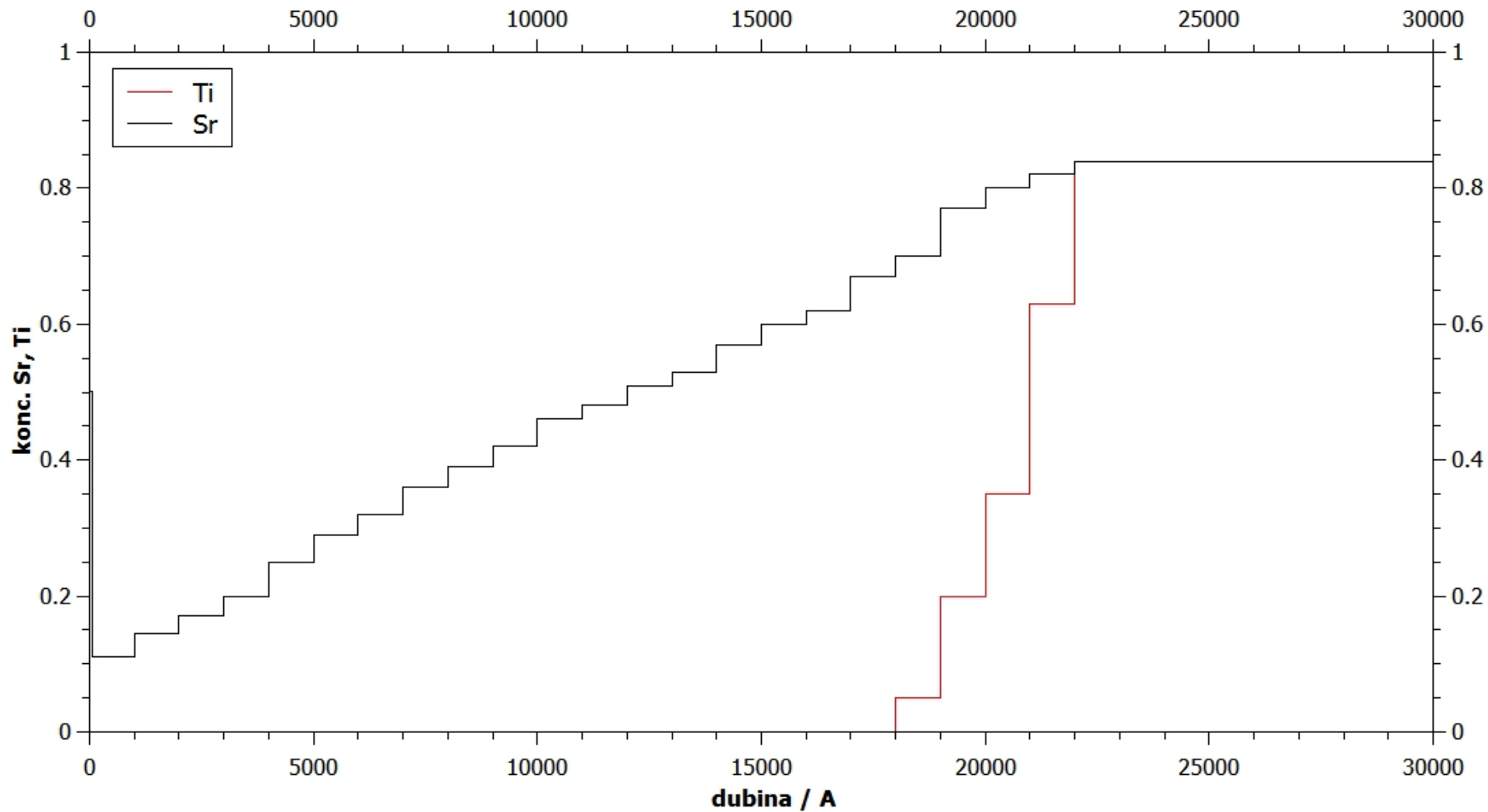
TiO2



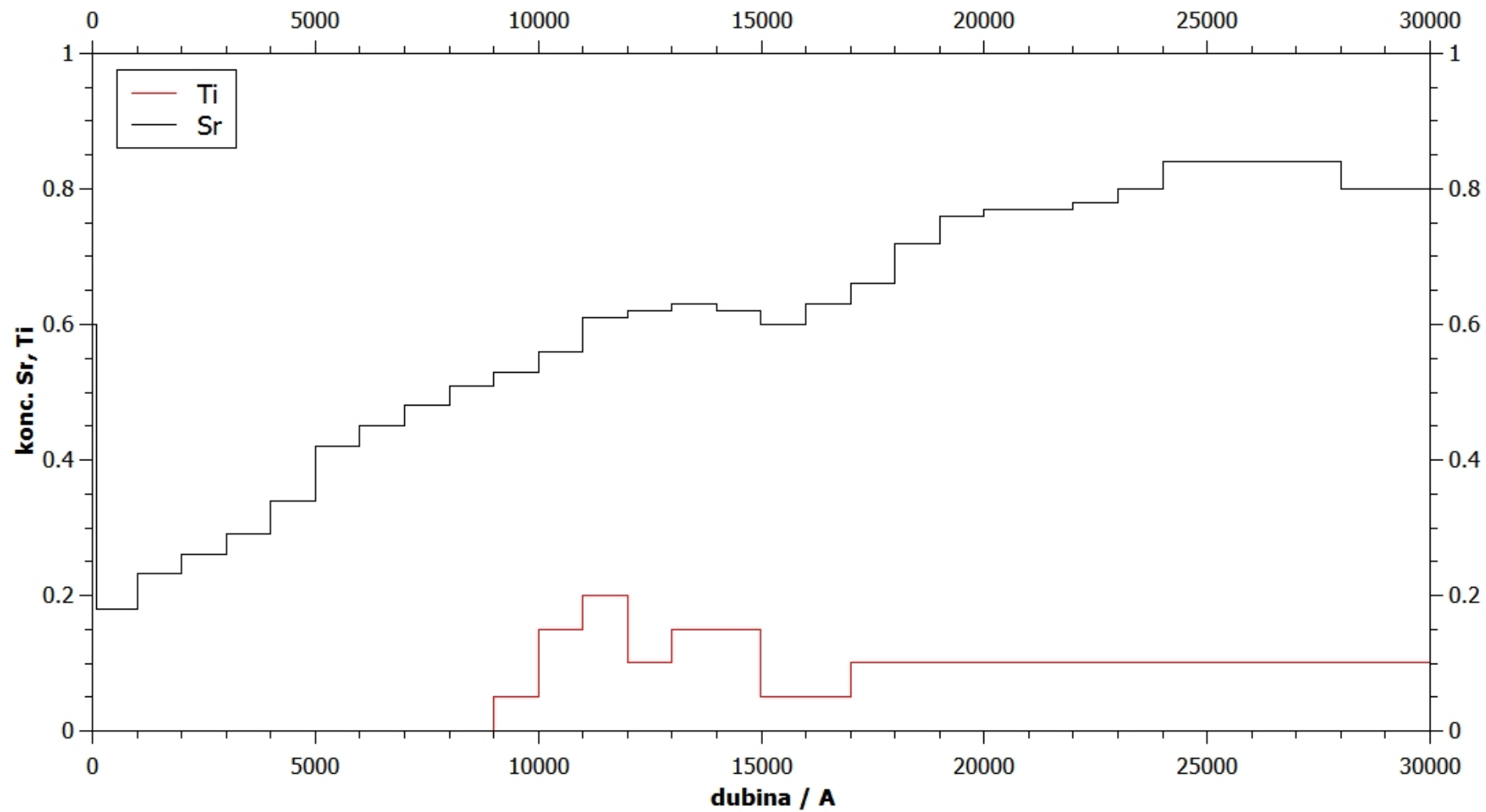
SrTiO3 - 1×10^{12} iona/cm2



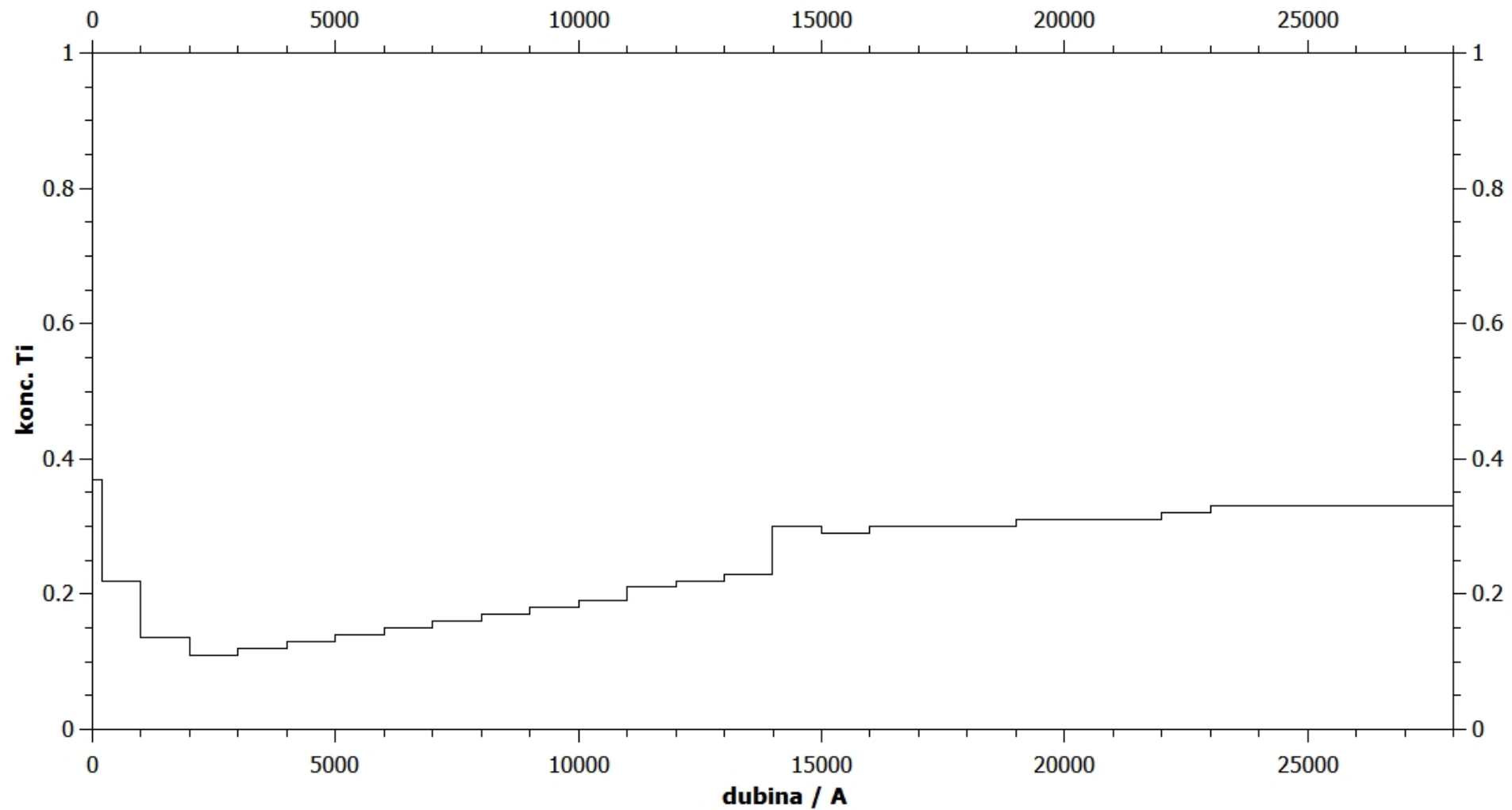
SrTiO3 - 2×10^{12} iona/cm2



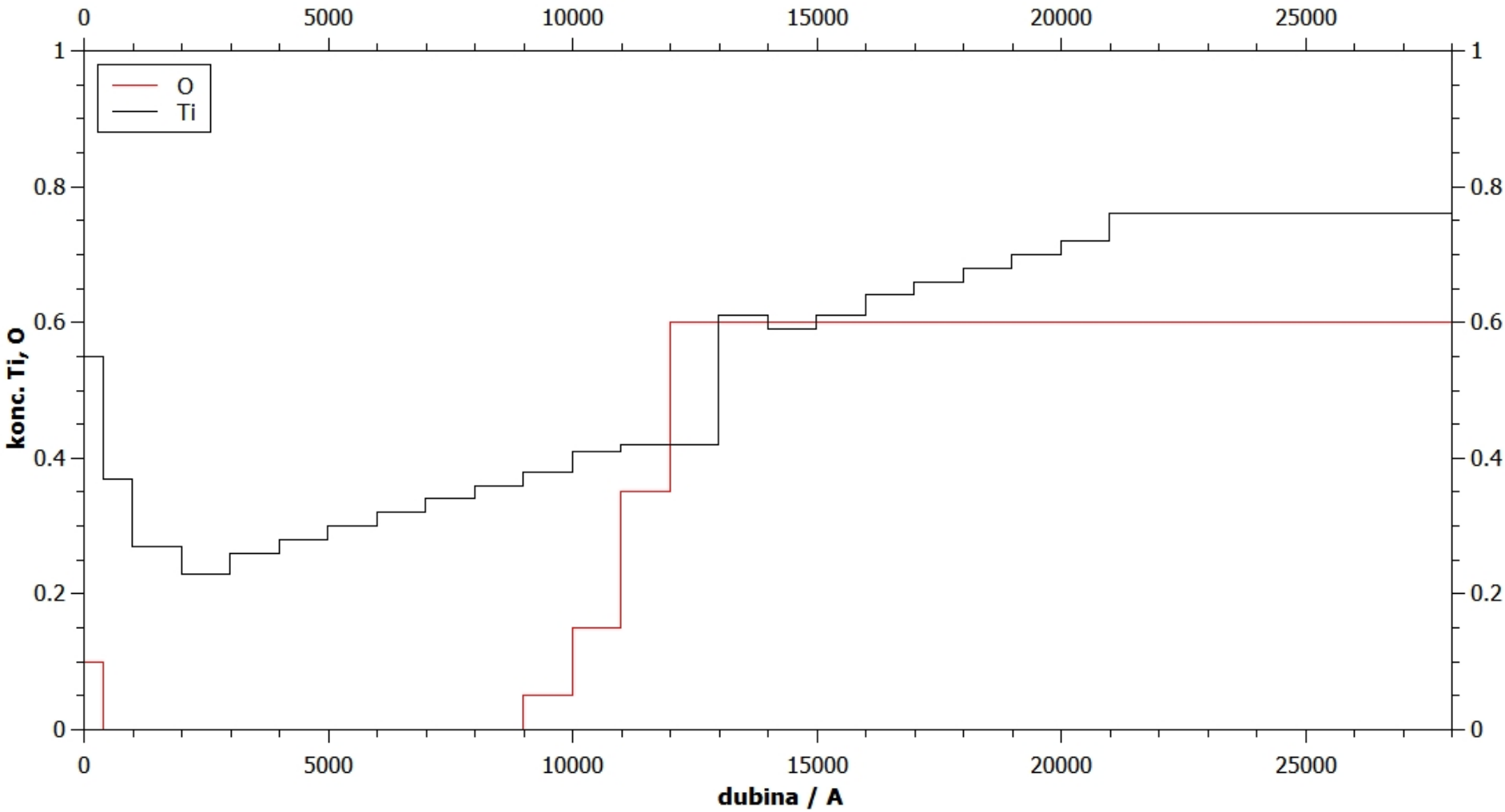
SrTiO3 - 3×10^{12} iona/cm2



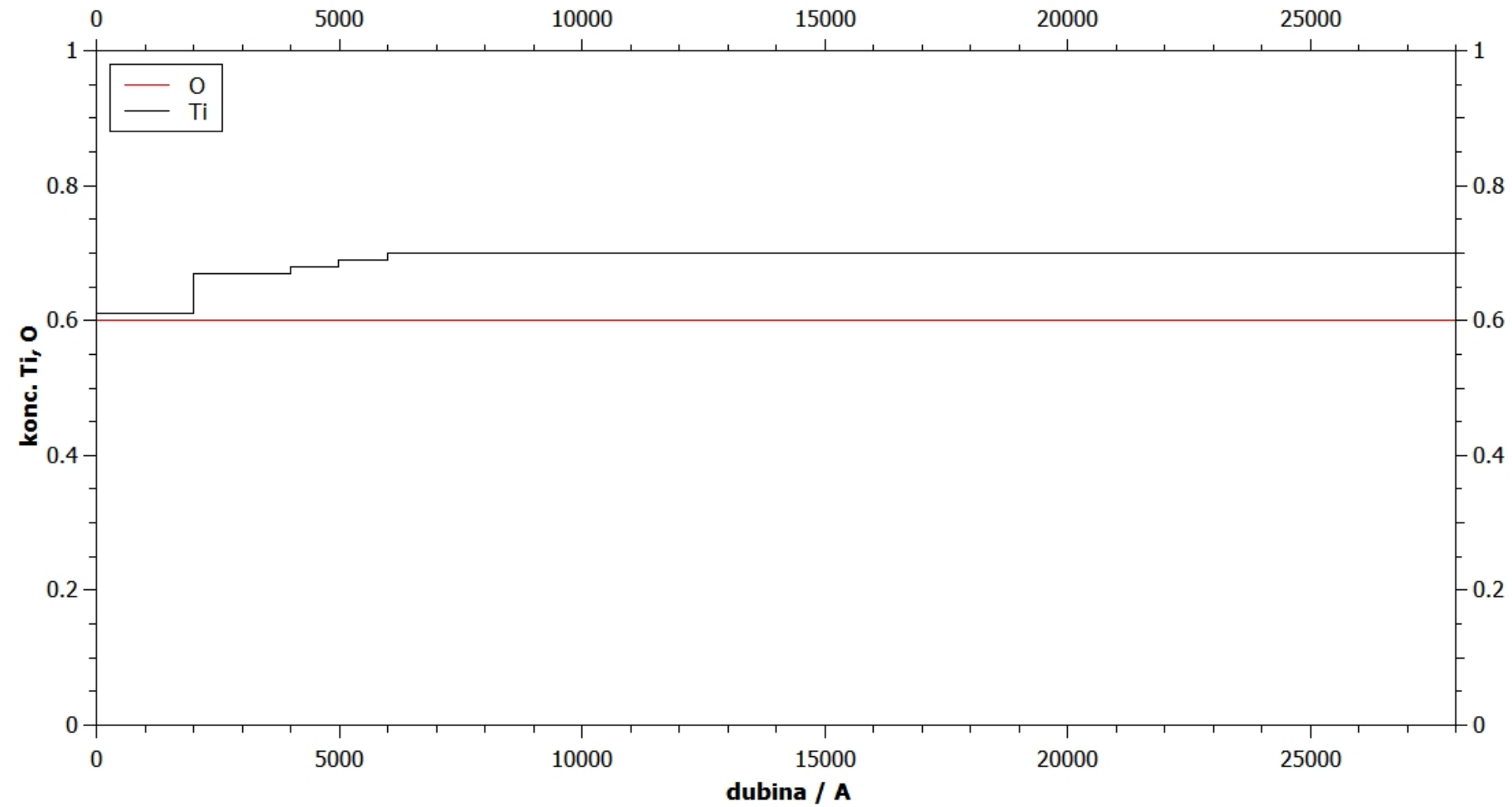
TiO2 - 1×10^{12} iona/cm2



TiO2 - 2×10^{12} iona/cm2



TiO2 - 3×10^{12} iona/cm2



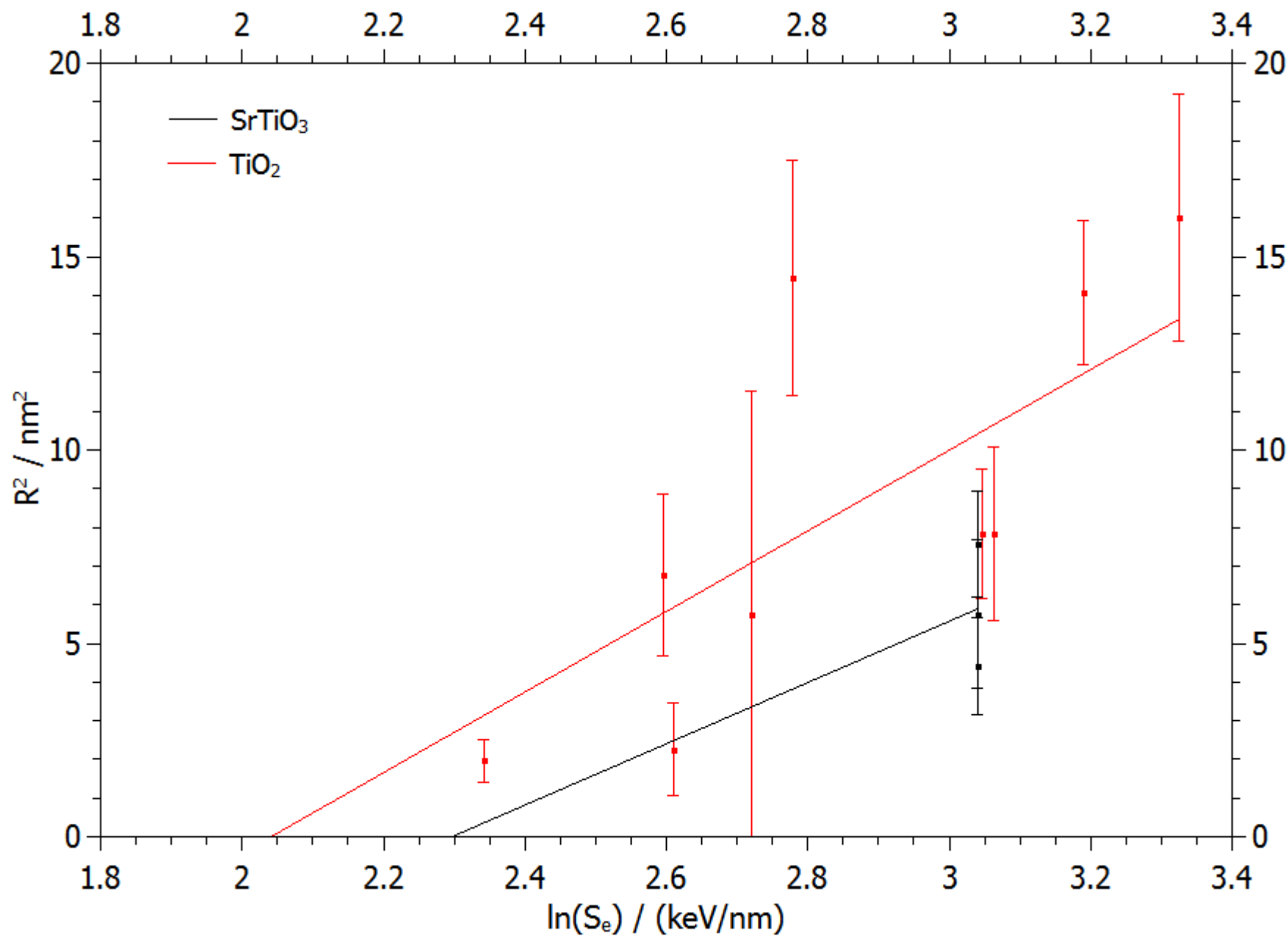
ATSM

$$\Delta T(r, t) = \frac{Q}{\pi a^2(t)} e^{-\frac{r^2}{a^2(t)}}, \quad R^2 = a_0^2 \ln \frac{S_e}{S_{et}}, \quad 1 \leq \frac{S_e}{S_{et}} \leq e$$

$$g S_e = \rho c Q + \rho \pi R^2 L \simeq \rho c Q, \quad R^2 = \frac{a_0^2}{e} \frac{S_e}{S_{et}}, \quad \frac{S_e}{S_{et}} \geq e$$

$$S_{et} = \frac{\rho c \pi a_0^2 \Delta T_m}{g}$$

- $a(t=0)=a_0 = 4.5 \text{ nm}$ (0.02-20 MeV/u)
- g (0.17 > 8 MeV/U, 0.4 < 2 MeV/u)



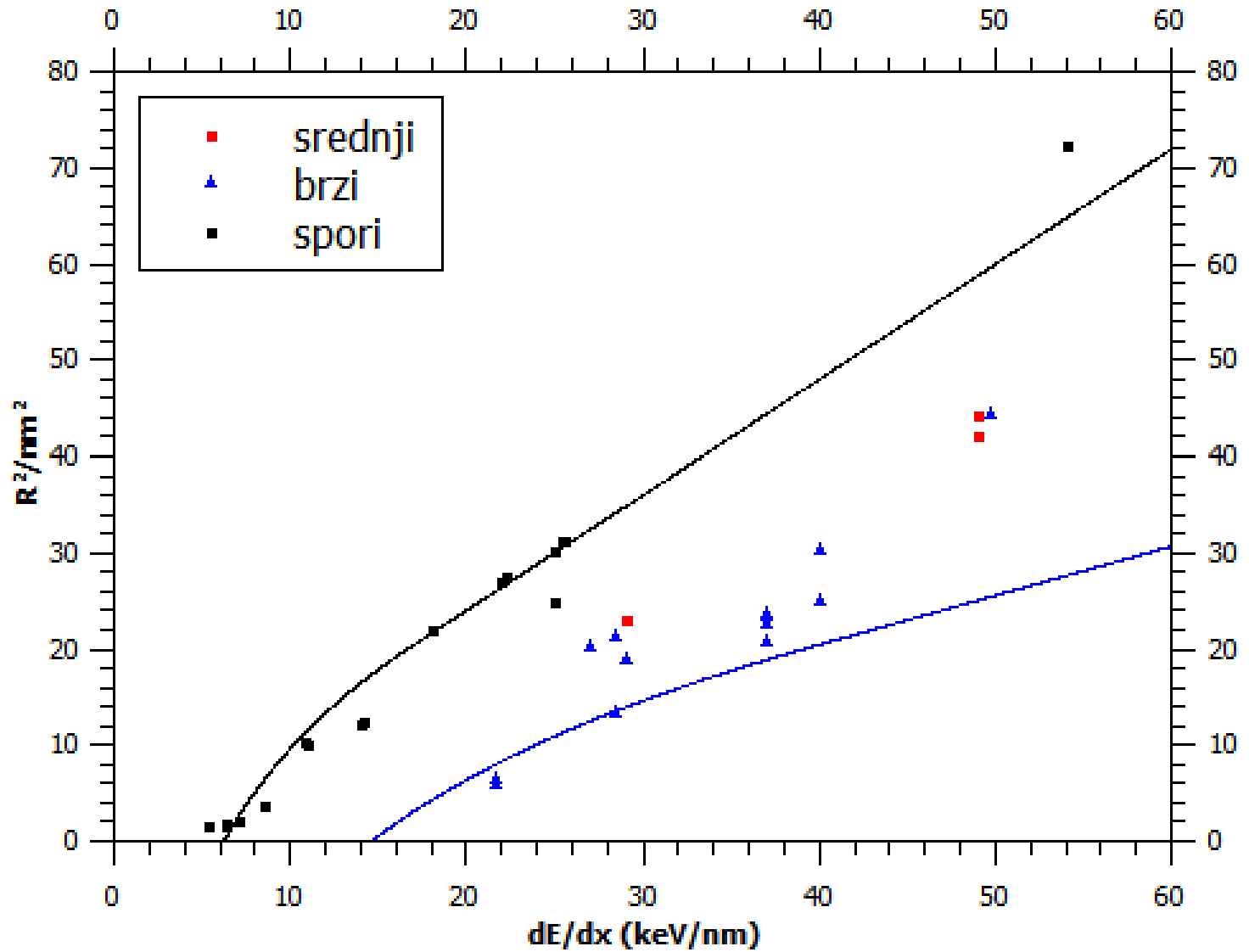
	SrTiO ₃
Density ρ (g cm ⁻³)	5.13
Specific heat capacity c (J g ⁻¹ K ⁻¹)	0.68
Melting temperature T_m (°C)	2050
$\rho \times c \times (T_m - RT)$ (J cm ⁻³)	7081
Energy band gap E_g (eV)	3.27

- 2.8 ± 0.2 nm za SrTiO 3 i 3.2 ± 0.3 nm za TiO 2 (a0)
- 9.44 keV/nm za SrTiO 3 te 10.94 keV/nm za TiO 2 (Set)
- 0.12 za SrTiO3 te 0.13->0.21 za TiO 2 (g)
- “velocity effects” (ne u poluvodičima!)

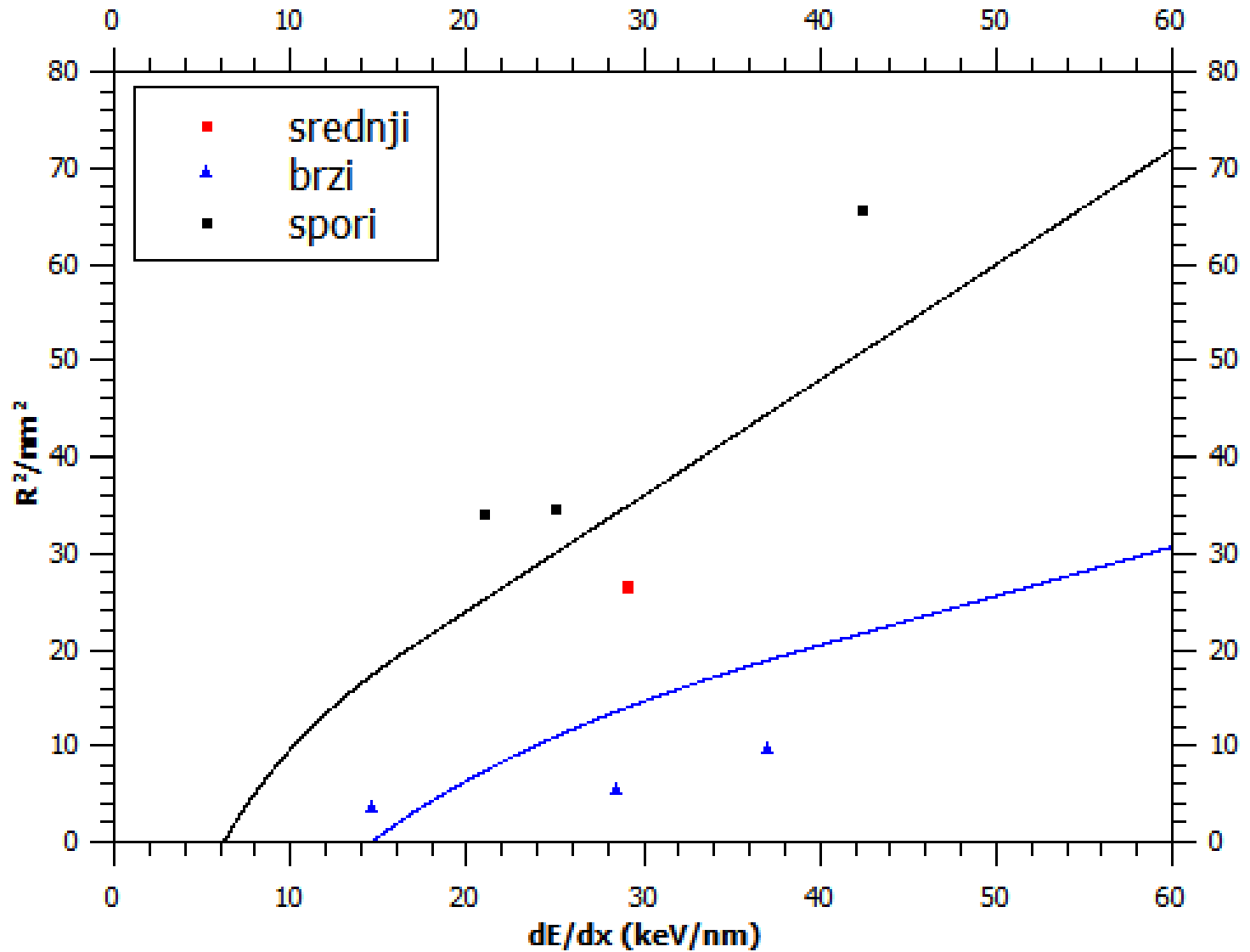
PIROKLORI

- $A_2B_2O_7$ ili $A_2B_2O_7$ -> A,B metali rijetkih zemalja ili prijelazni
- različite fizikalne karakteristike
- skladištenje nuklearnog otpada -> reakcija na fisijske fragmente
- XRD,SAXS,TEM,RBS/c
- $Gd_2Ti_2O_7$, Gd_2ZrTiO_7 , $Gd_2Zr_2O_7$, $La_2Ti_2O_7$ i $Nd_2Zr_2O_7$

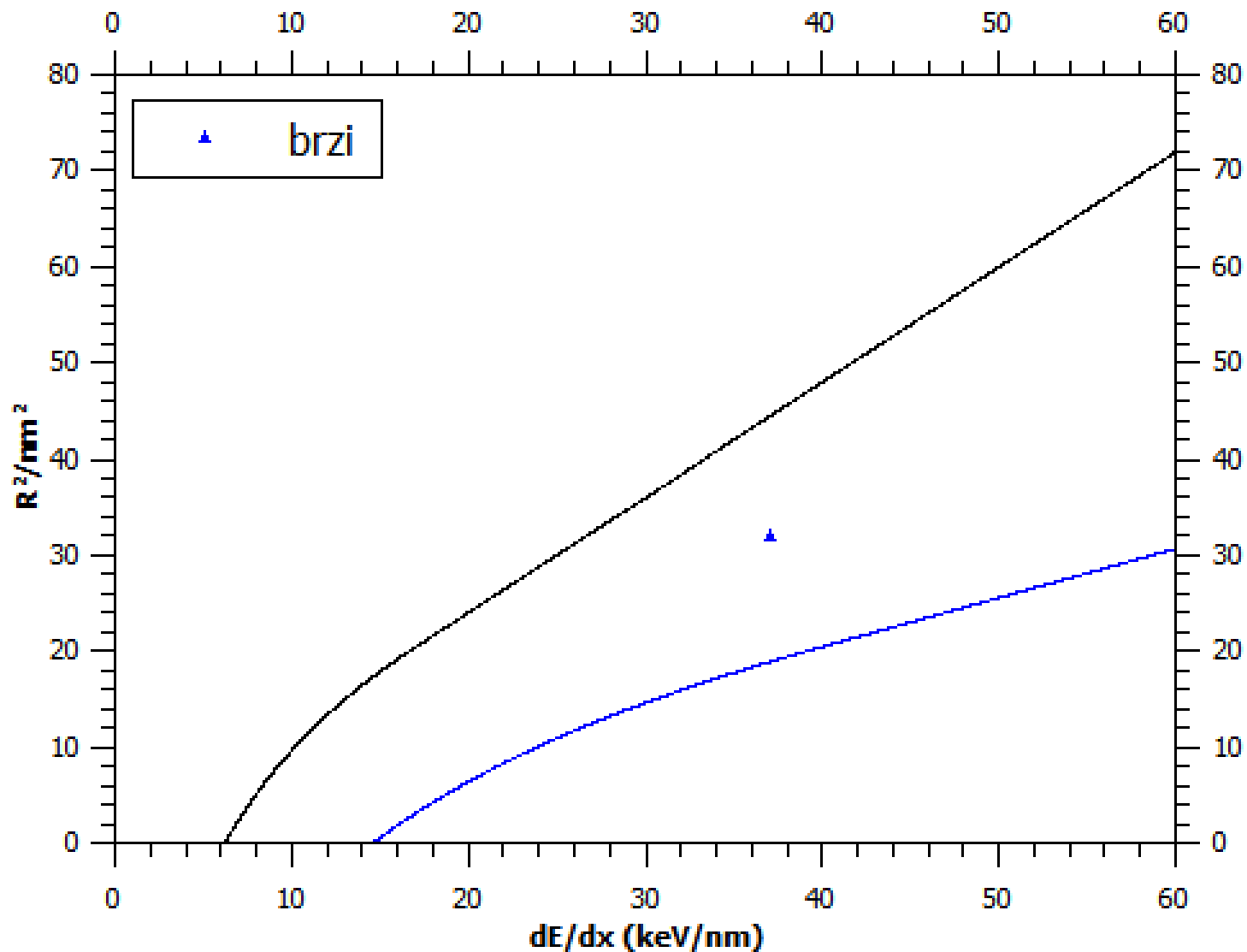
Gd₂Ti₂O₇ - TEM



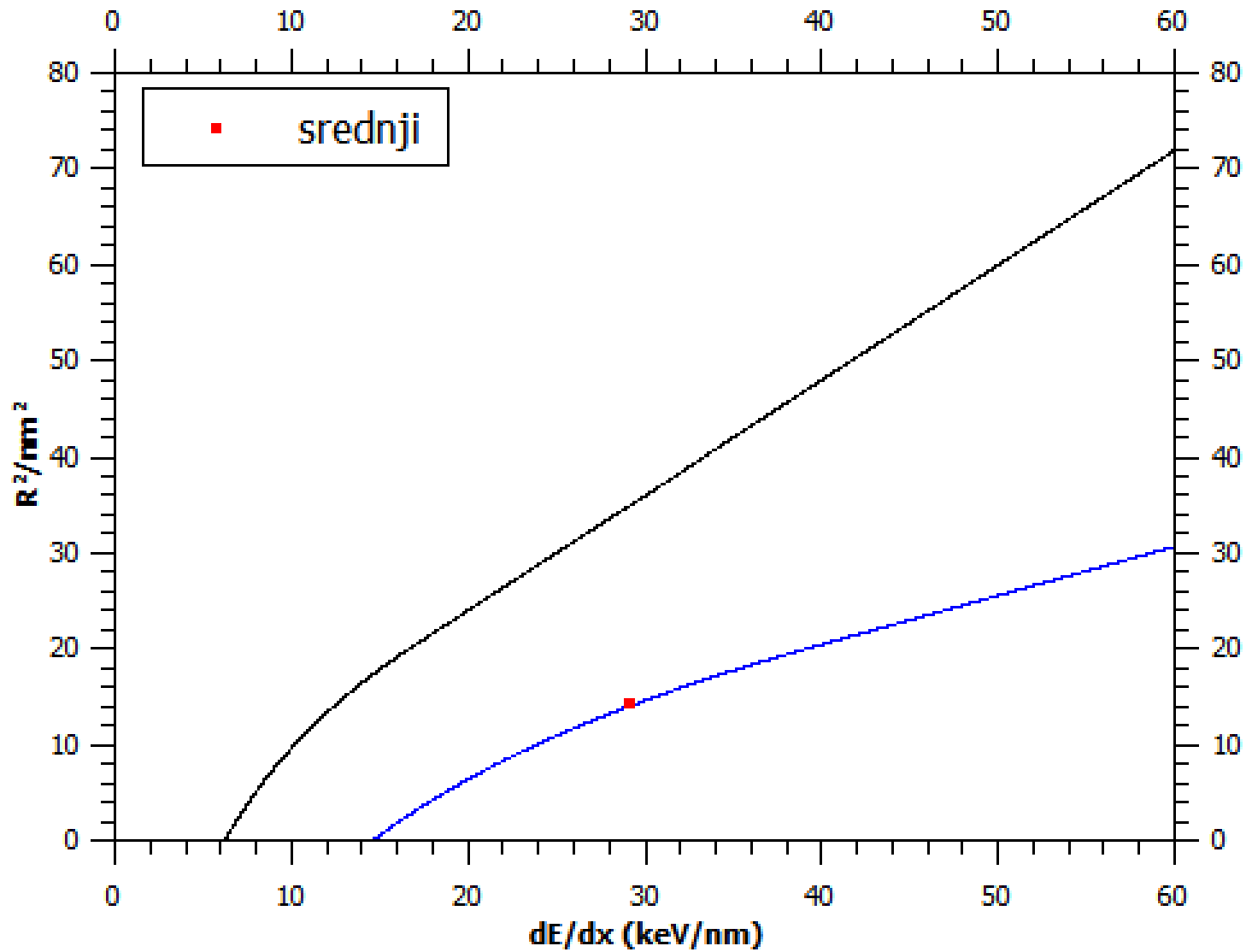
Gd₂Ti₂O₇ - XRD



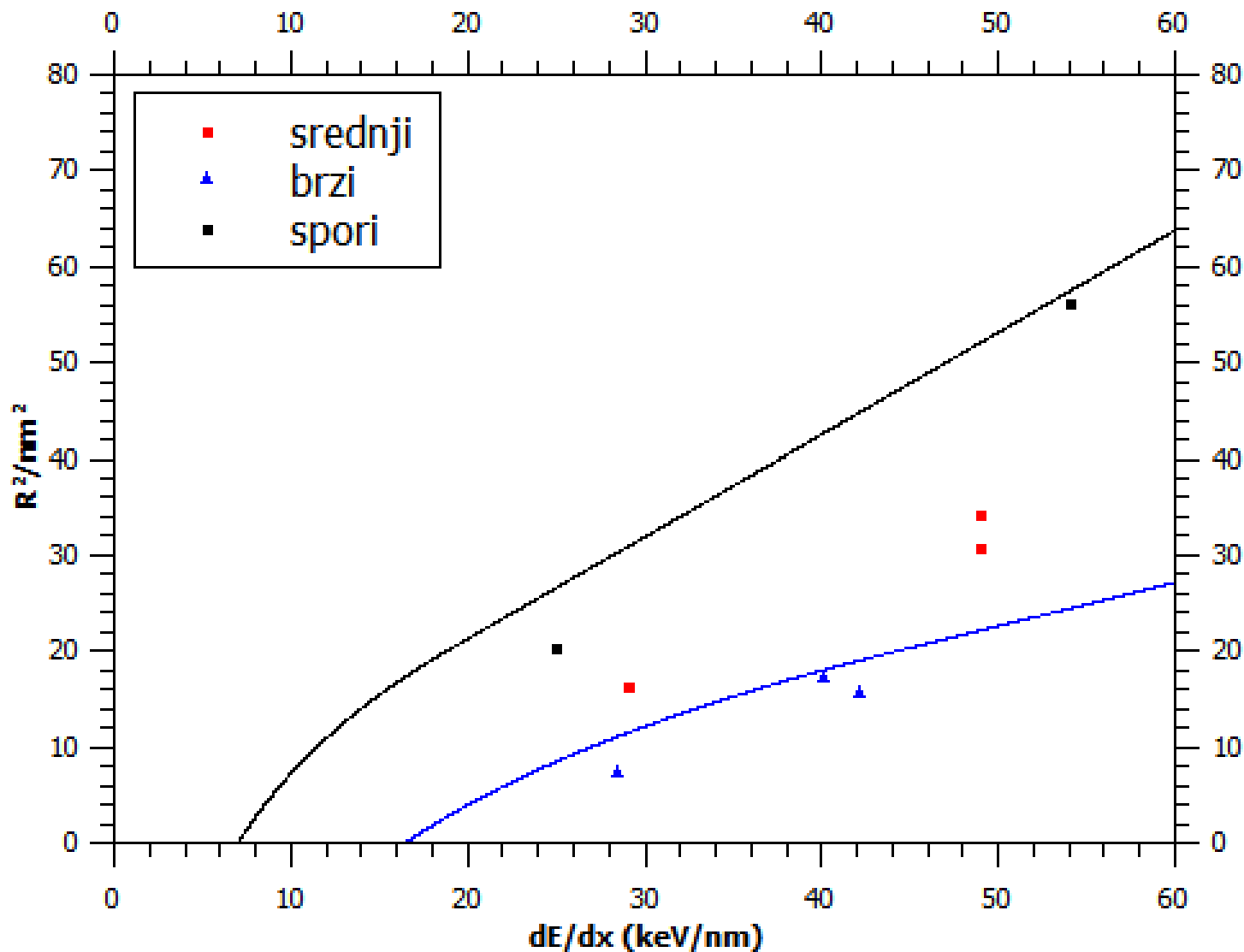
Gd₂Ti₂O₇ - SAXS



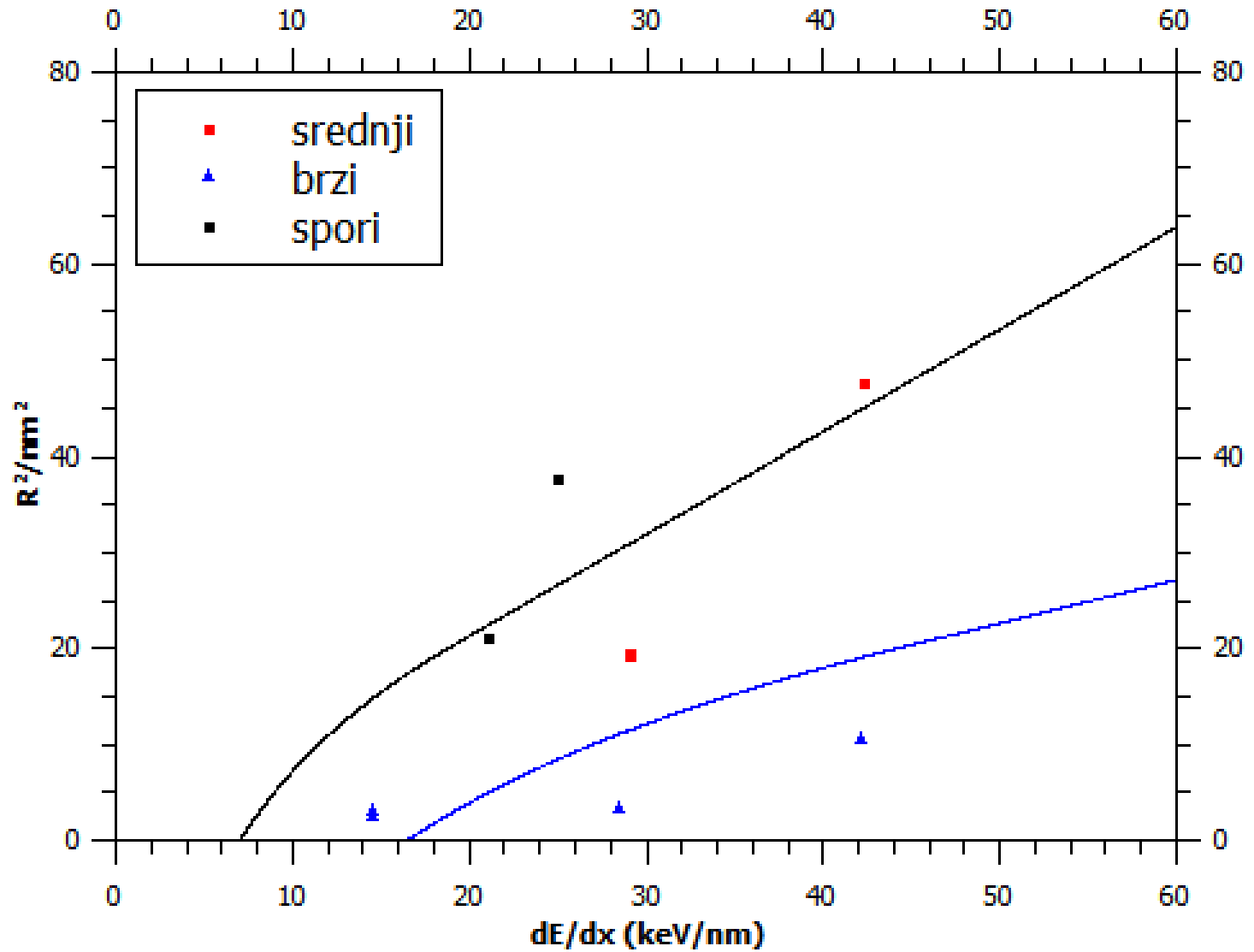
Gd₂Ti₂O₇ - RBS/c



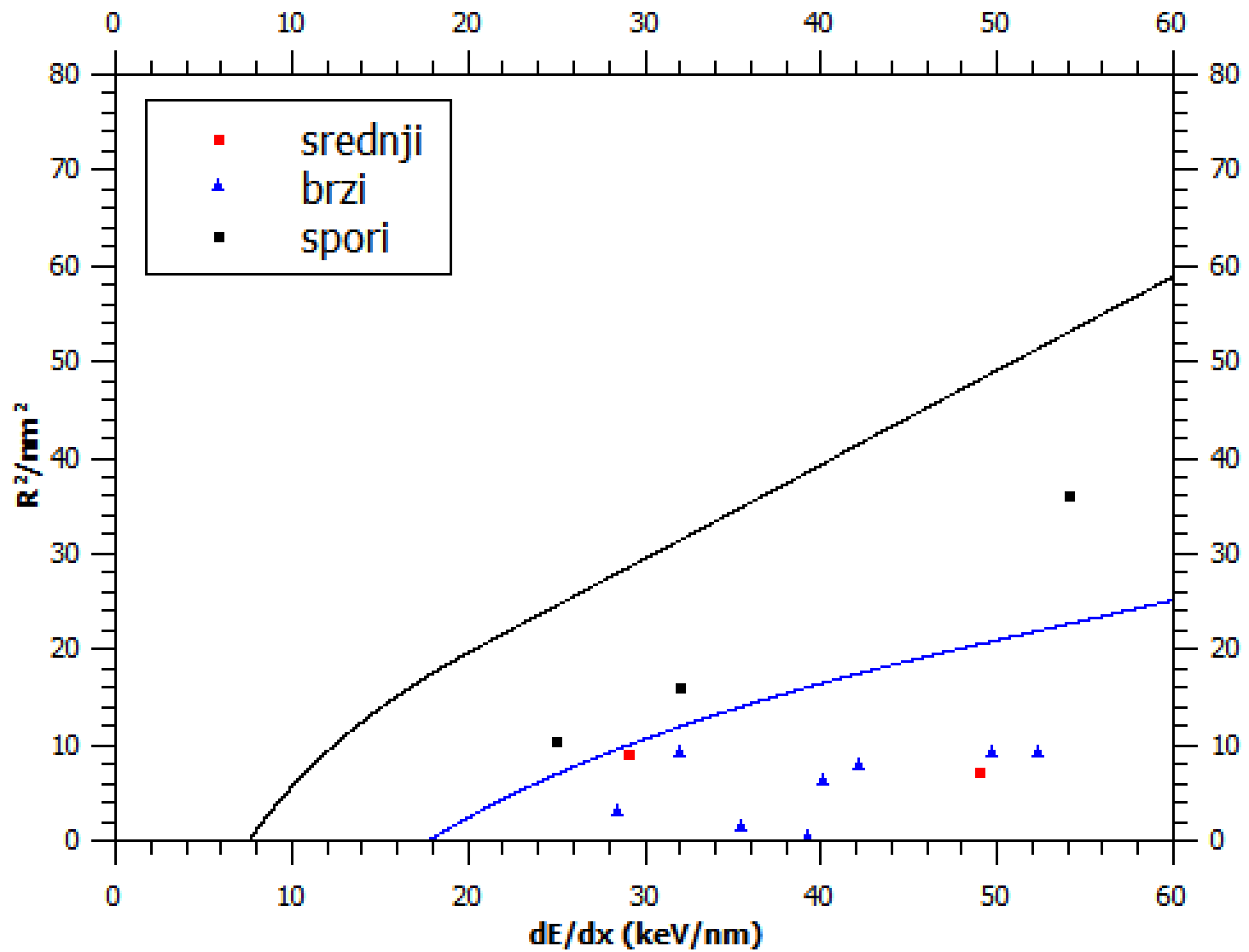
Gd₂ZrTiO₇ - TEM



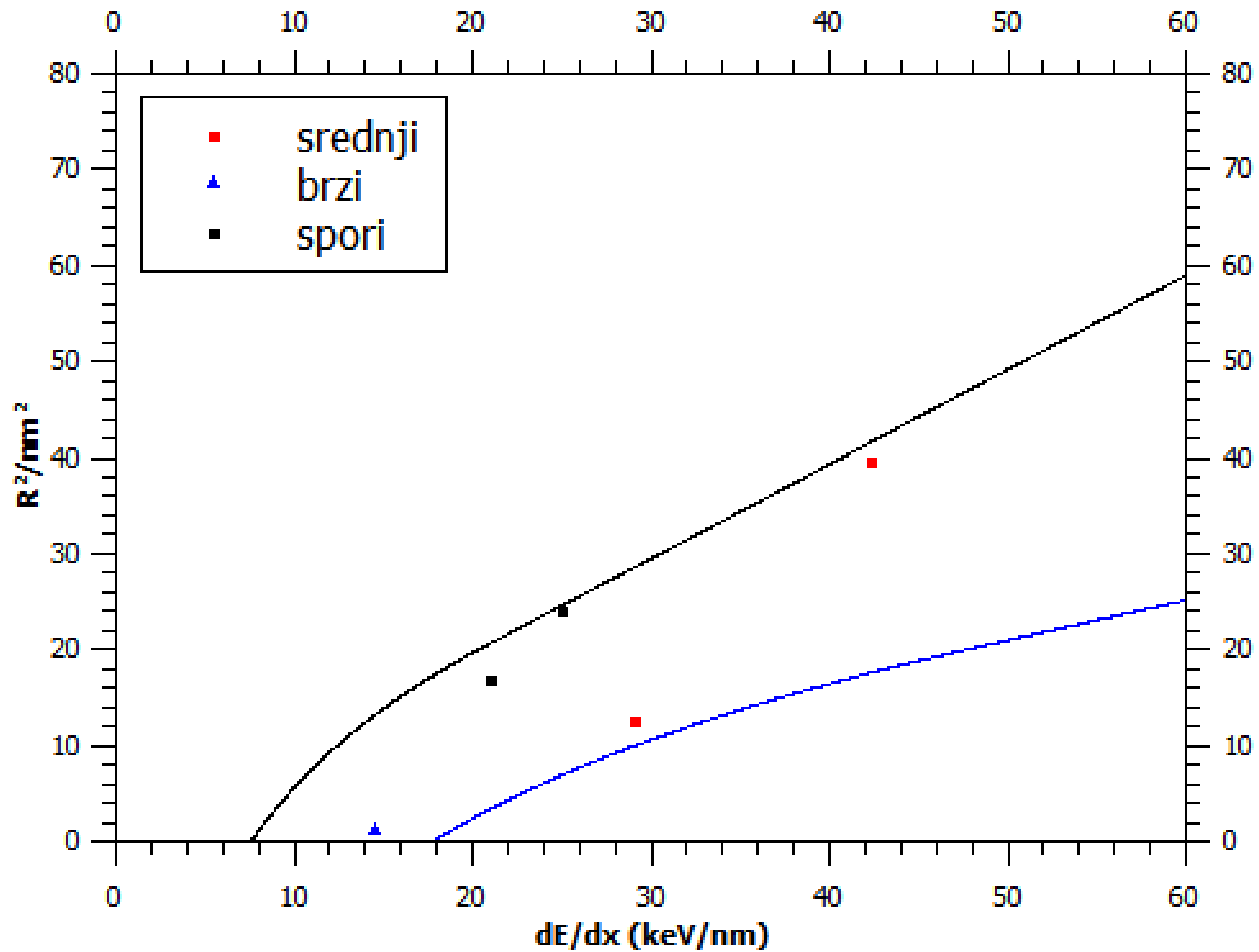
Gd₂ZrTiO₇ - XRD



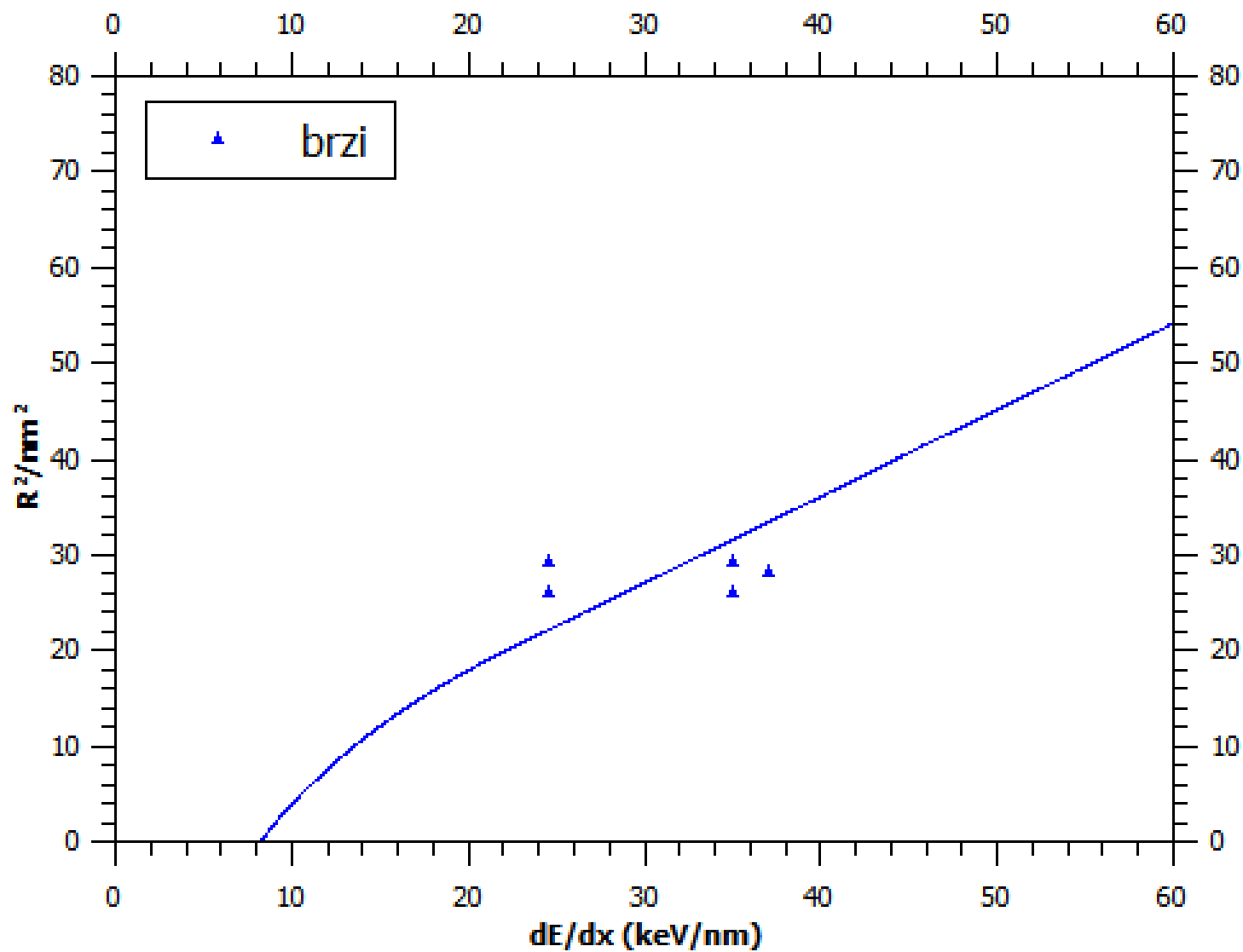
Gd₂Zr₂O₇ - TEM



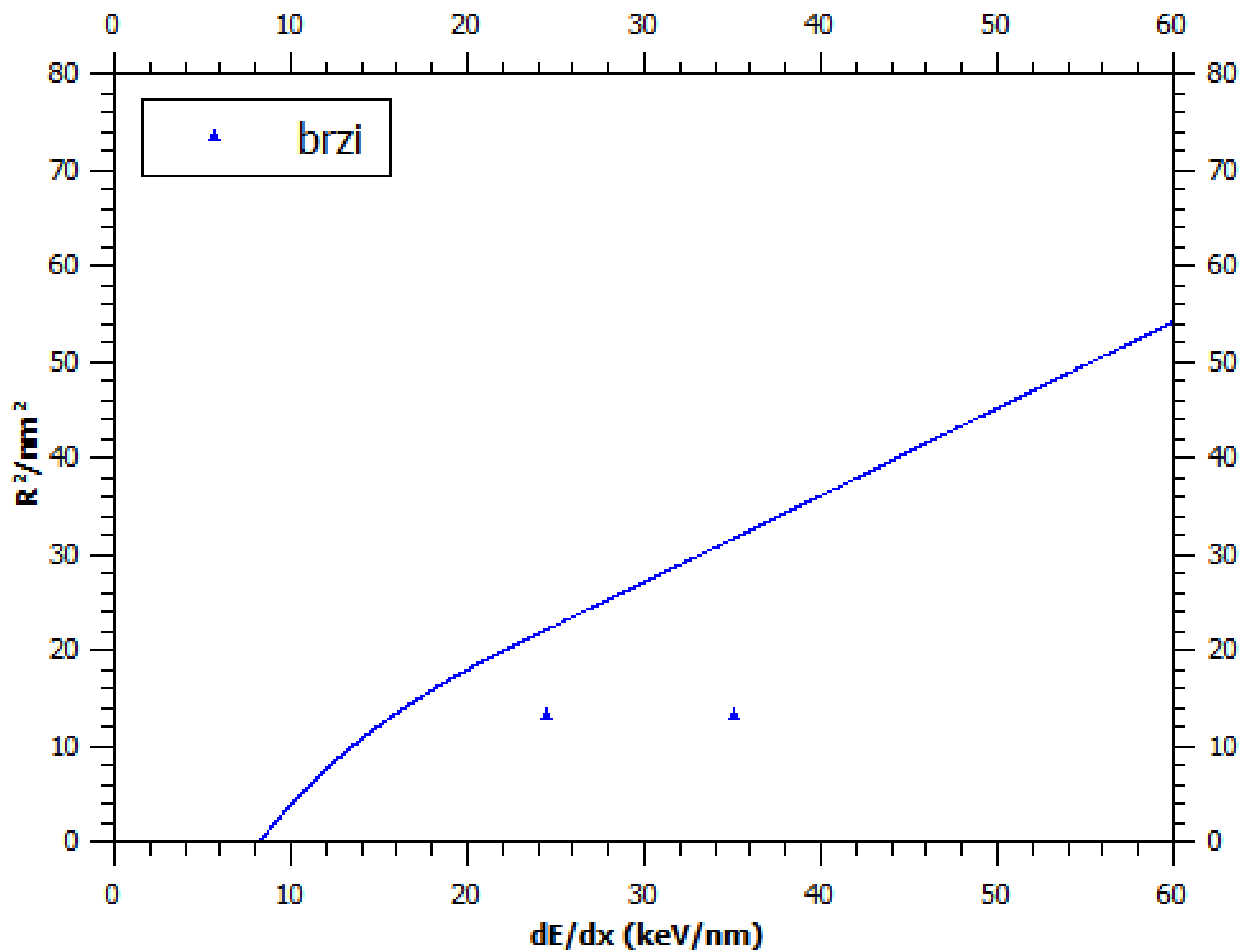
Gd₂Zr₂O₇ - XRD



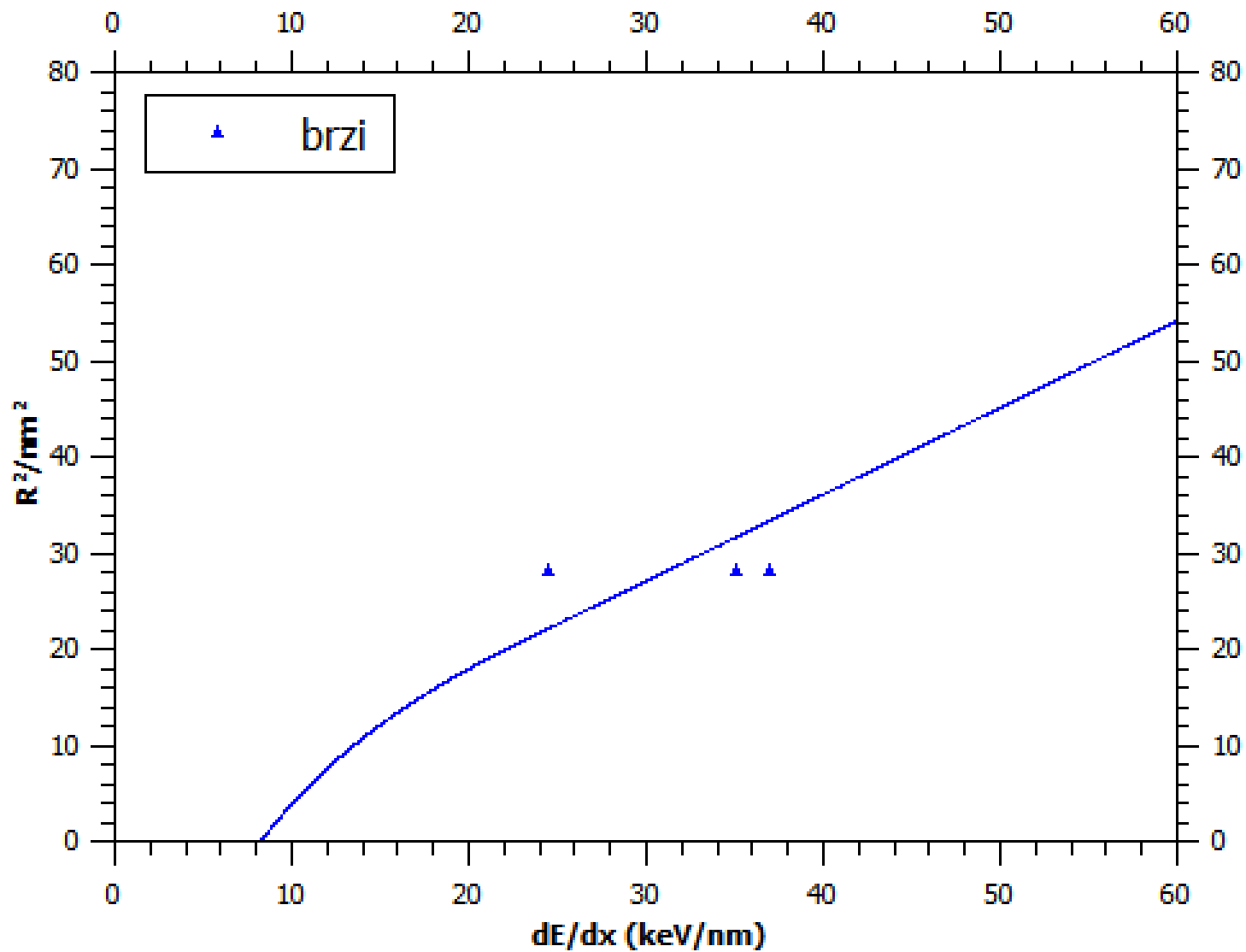
La₂Ti₂O₇ - TEM



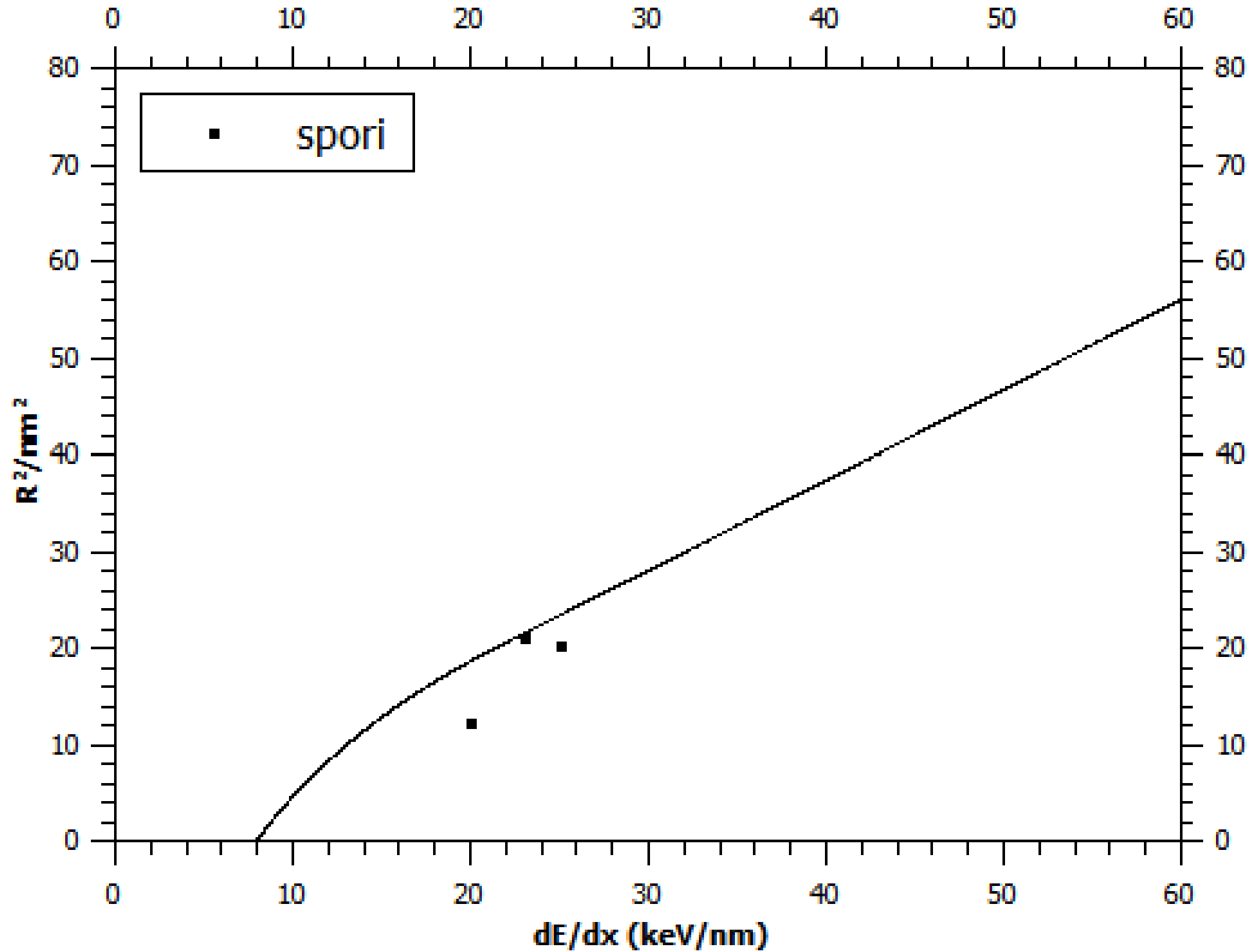
La₂Ti₂O₇ - XRD



La₂Ti₂O₇ - SAXS



Nd₂Zr₂O₇ - TEM



Nd₂Zr₂O₇ - XRD

